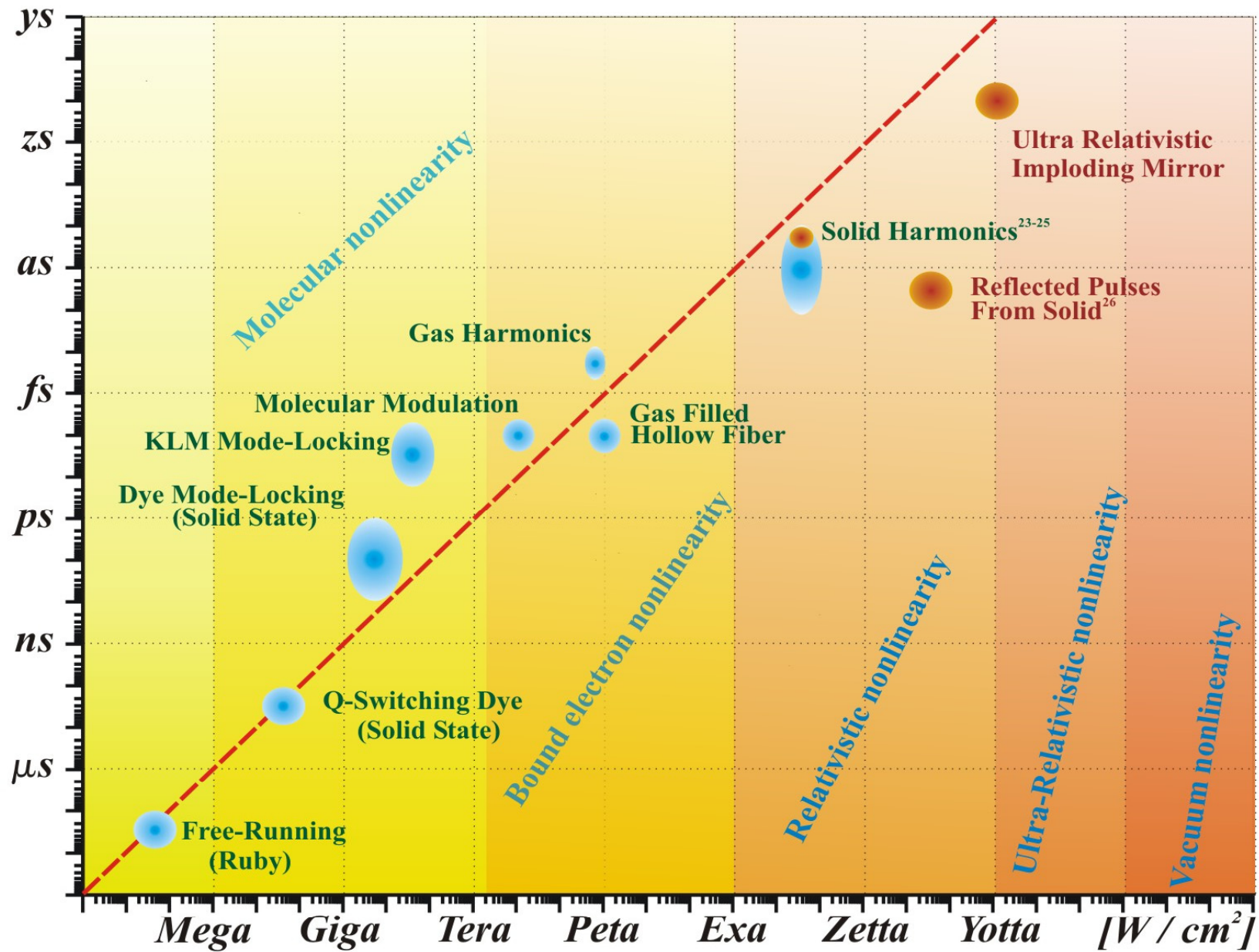


Экстремальные световые поля для задач ядерной фотоники

Савельев-Трофимов Андрей Борисович
МГУ им. М.В.Ломоносова
abst@physics.msu.ru

План

- *Какое электромагнитное поле называется экстремальным и как его создать?*
- *Ускорение электронов – основа для задач ядерной фотоники*
- *Фотоядерные процессы*
- *Процессы, индуцированные ускоренными ионами*



Field strength in non-linear optics

Coulomb field strength in Hydrogen atom (atomic field):

$$E_a \sim \frac{e}{a^2} \sim 5 \cdot 10^9 \text{ V/cm} = 2 \times 10^7 \text{ SGSE}$$

Non-linear optical susceptibility:

$$\chi^{(2)} = \frac{\kappa}{E} \quad \kappa \approx 0.1 \Rightarrow \chi^{(2)} \approx 5 \times 10^{-9} \text{ SGSE}$$

$$\chi^{(3)} = \frac{\kappa}{E^2} \quad \Rightarrow \quad \chi^{(3)} \approx 2.5 \times 10^{-16} \text{ SGSE}$$

Ultraintense laser fields

Field ionization (multiphoton, tunnel, etc.):

$$\gamma^2 = \frac{2J}{E^2 / \omega^2} \propto \frac{J}{\epsilon_{osc}} \quad I > 10^{13} \text{ W/cm}^2$$

$\gamma \gg 1$ multiphoton

$\gamma \ll 1$ tunnel, ATI, BSI

Field strength comparable
to atomic field:

$$E \sim E_a \sim \frac{e}{a^2} \sim 5 \cdot 10^9 \text{ V/cm}$$

Ultraintense laser field:

$$I_u = \frac{c E_a^2}{8\pi} \sim 3,4 \cdot 10^{16} \text{ W/cm}^2$$

Relativistic optical field

Quiver electron velocity (classical):

$$m_e \ddot{x} = qE e^{i\omega t}$$

$$v_{osc} = \frac{qE}{m_e \omega} \approx c$$

Relativistic “threshold”

$$\mathcal{E}_{osc} = \frac{q^2 E^2}{2 m_e \omega^2} = \frac{q^2 I \lambda^2}{\pi m_e c^3}$$

$$Q = I \lambda^2$$

$$Q_R \approx 1,4 \cdot 10^{18} \text{ W/cm}^2 \mu\text{m}^2$$

$$\mathcal{E}_{osc} \approx 0.5 \text{ MeV}$$

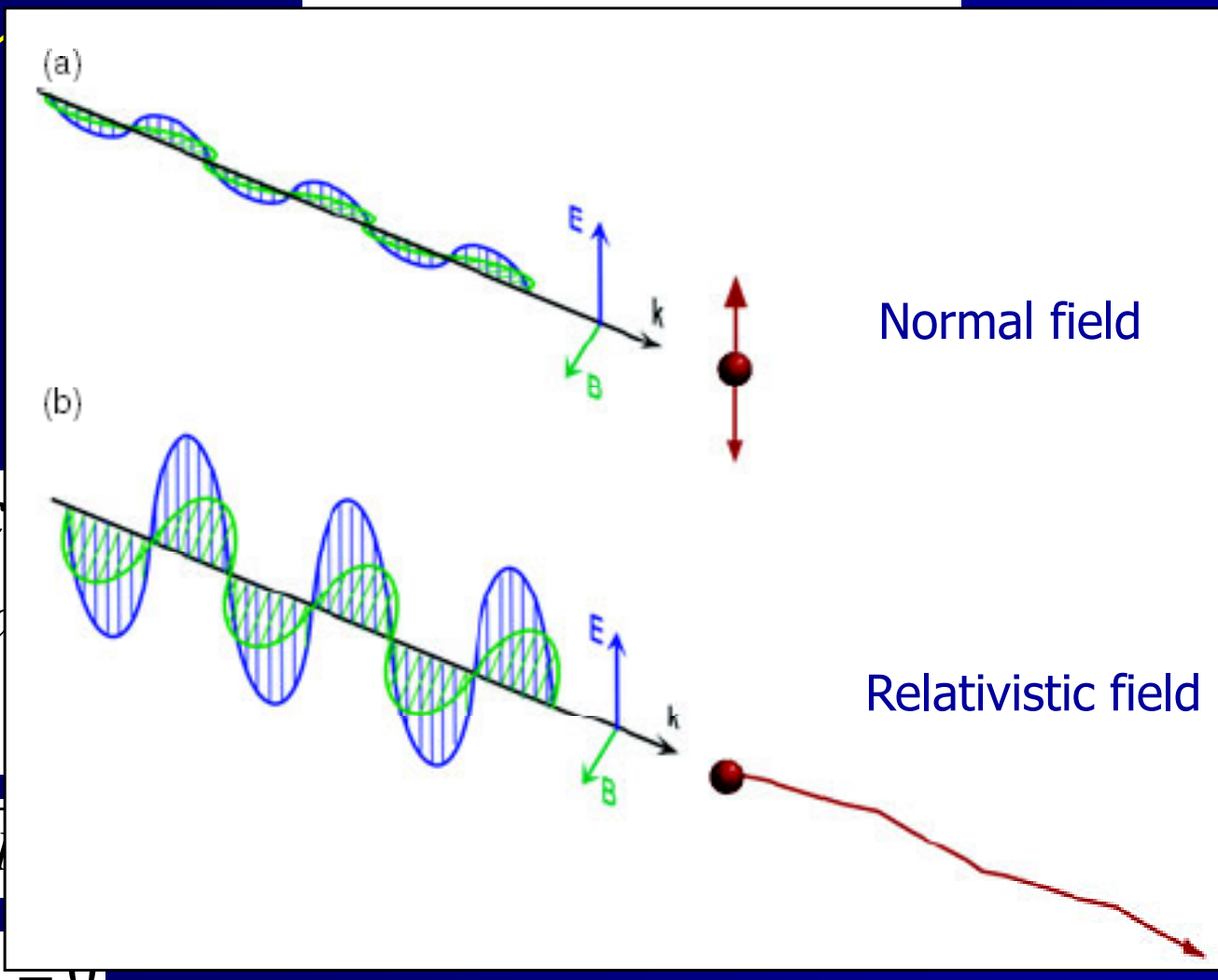
Electron motion

Non-linear

$$\begin{cases} P_x - P_{x0} = \epsilon \\ P_\perp - P_{\perp 0} = \sigma \\ \epsilon = \gamma - 1. \end{cases}$$

$$\gamma = \sqrt{1 + P_\perp^2 + P_x^2}$$

$$\epsilon_0 = P_{x0} = P_{\perp 0}$$



Electron motion

$$\frac{dy}{d\tau} = c \cdot a$$

$$\frac{dx}{d\tau} = c \cdot \frac{a^2}{2}$$

$$\frac{dz}{d\tau} = 0$$

$$t = \tau - \frac{x(t)}{c}$$

$$y(\tau) = \frac{c}{\omega_L} a_0 [1 - \cos(\omega_L \tau)]$$

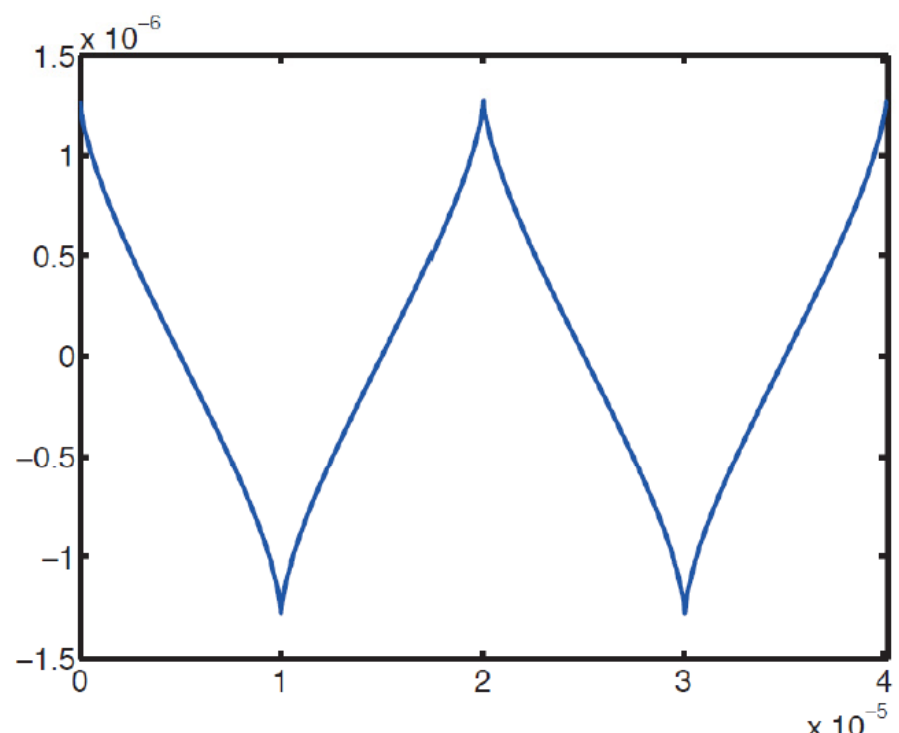
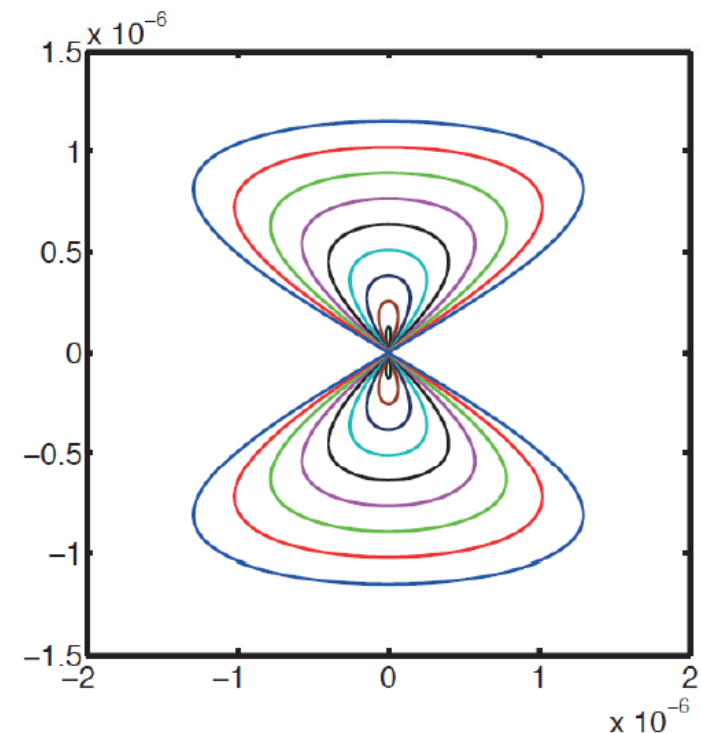
$$x(\tau) = \frac{ca_0^2}{4} \left[\tau - \frac{1}{2\omega_L} \sin(2\omega_L \tau) \right]$$

$$z(\tau) = 0$$

$$x = \frac{ca_0^2}{4} \tau = \frac{ca_0^2}{4} \left(t - \frac{x}{c} \right) = \frac{ca_0^2}{4} t - \frac{a_0^2}{4} x$$

$$\Rightarrow x = \frac{ca_0^2}{4} \frac{t}{1 + \frac{a_0^2}{4}} = \frac{ca_0^2}{4 + a_0^2} t$$

$$\Rightarrow v_{drift} = \frac{a_0^2}{4 + a_0^2} c = \left\langle \frac{x}{t} \right\rangle$$



Ultrarelativistic optical field

Relativistic ions:

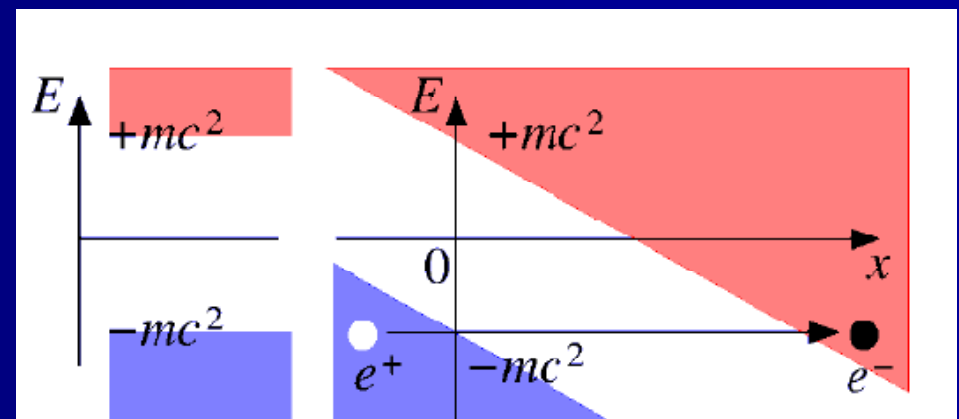
$$v^{(i)}_{osc} = \frac{eE}{M_i\omega} \approx c$$

$$I^{(proton)}_{rel} \approx 10^{24} \text{ W/cm}^2 \cdot \mu\text{m}^2$$

Schwinger field (vacuum breakdown):

$$eE_{schw}\lambda_c > 2m_e c^2, \quad \lambda_c = \frac{\hbar}{m_e c}$$

$$I_{schw} \approx 10^{29} \text{ W/cm}^2$$



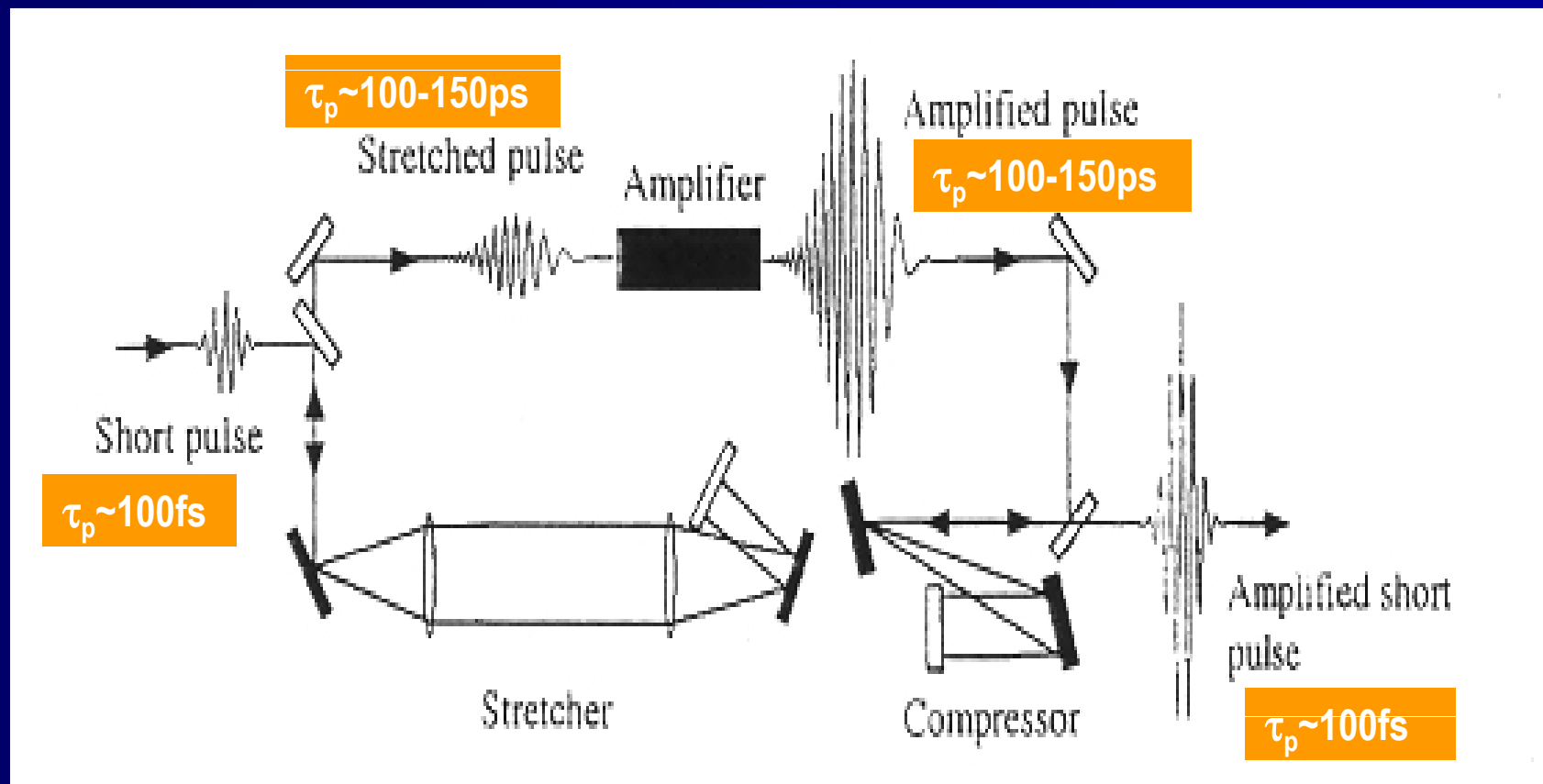
CPA concept

$$I = \frac{W}{\tau \cdot S}$$

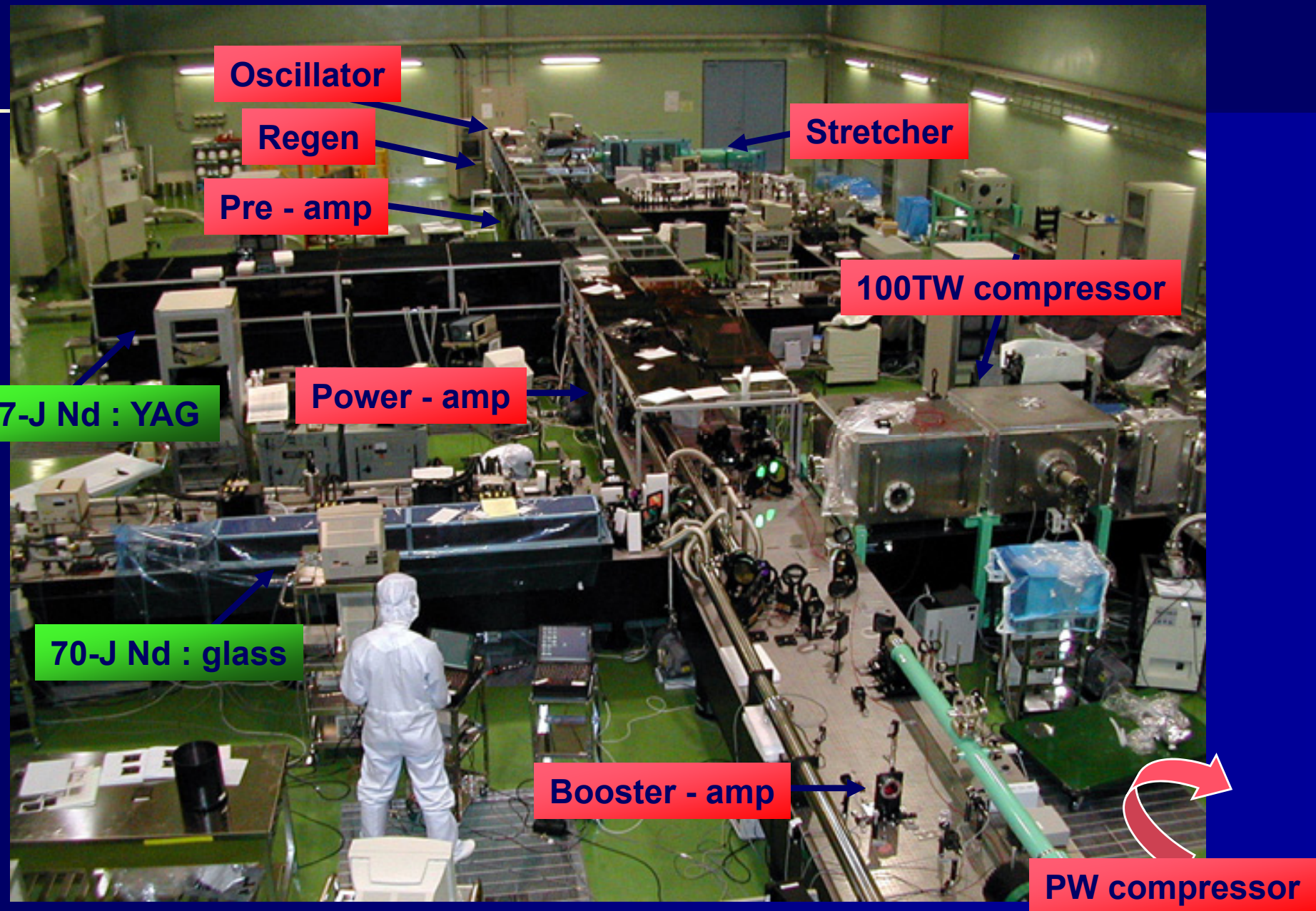
- Самовоздействие (фазовая модуляция импульса, самофокусировка):

$$B = 2\pi/\lambda \int_0^L n_2 I(z) dz$$

- Пробой поверхности

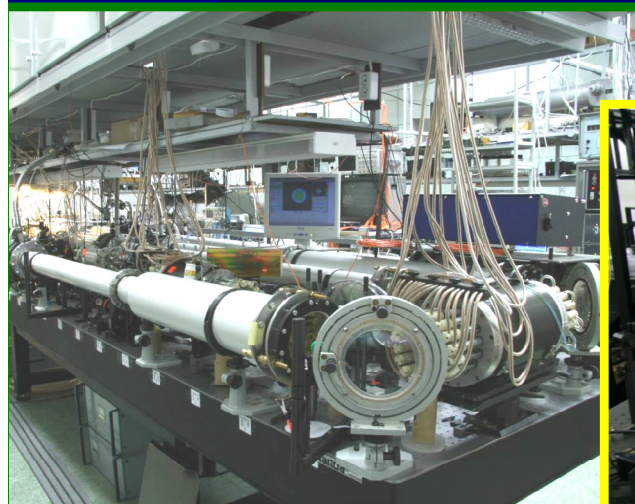
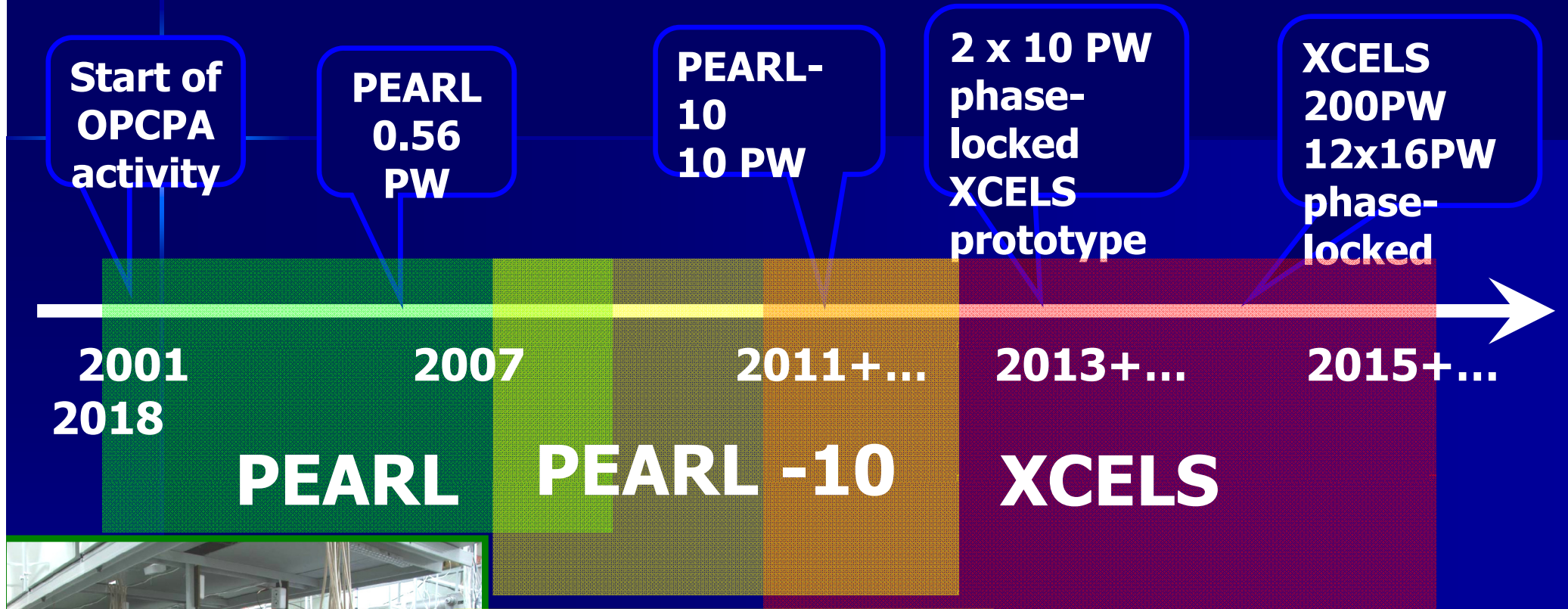


Petawatt Ti:Sapphire Laser System (JAERI-APRC)



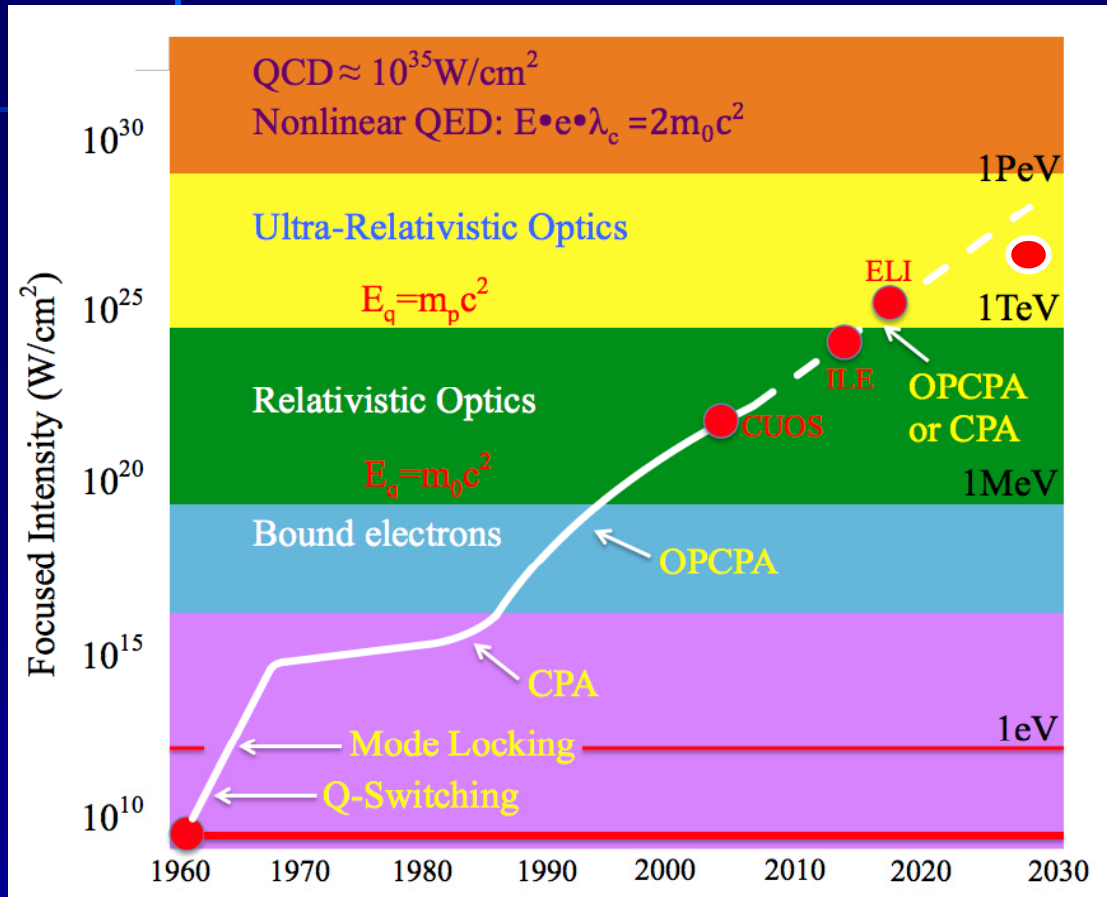


200 PW OPCPA laser

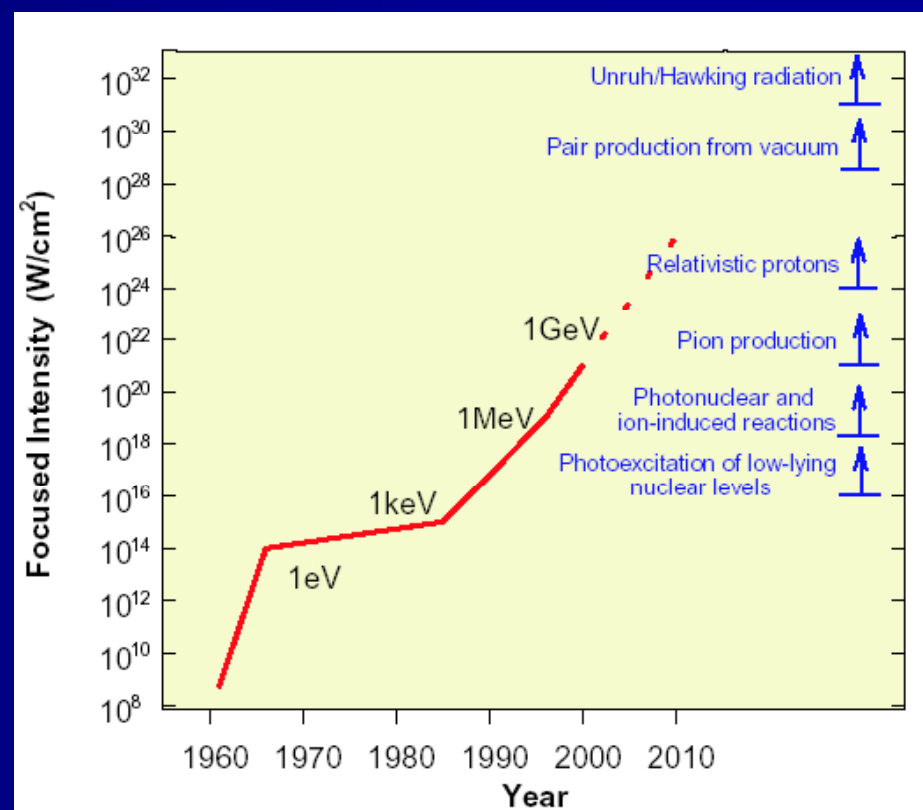


Экстремальные электромагнитные поля

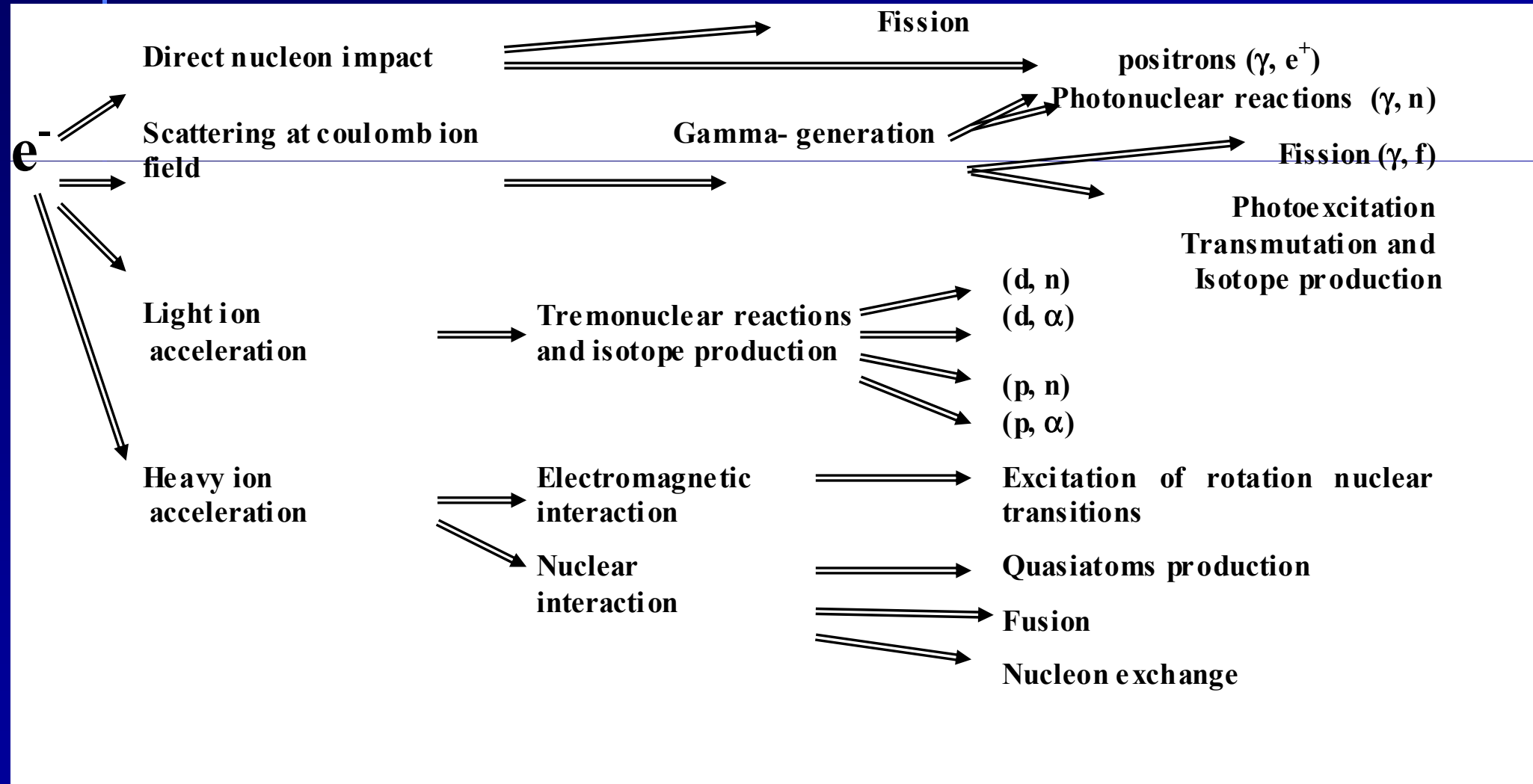
$$\epsilon_{osc} = mc^2 a^2 / 2 = 0.18 \cdot 10^{-18} I [W/cm^2] \lambda^2 [\mu m] MeV$$



XCELS

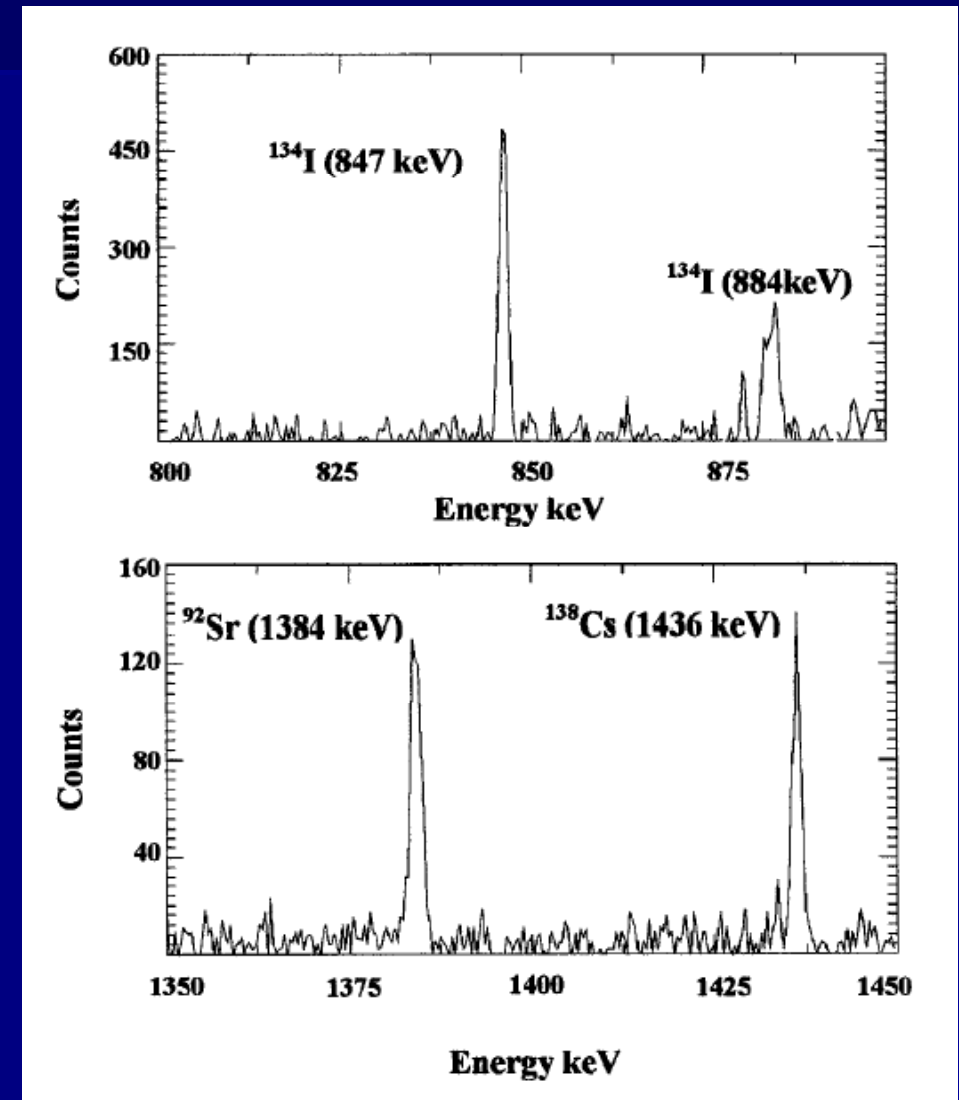
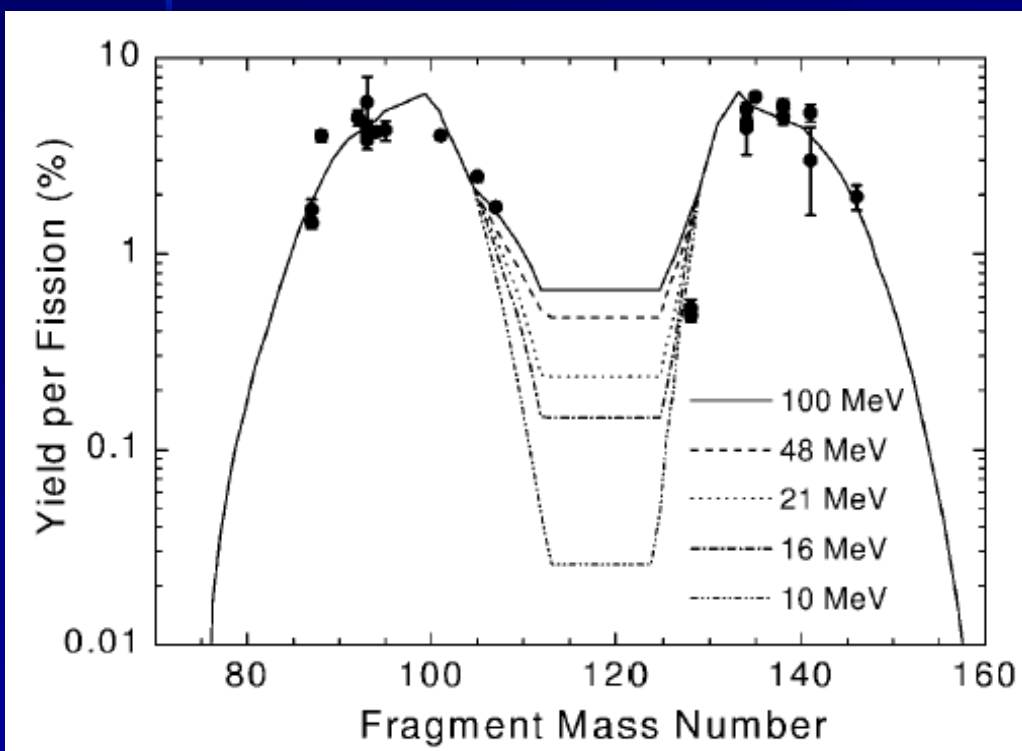


Feasible channels for nuclear reactions



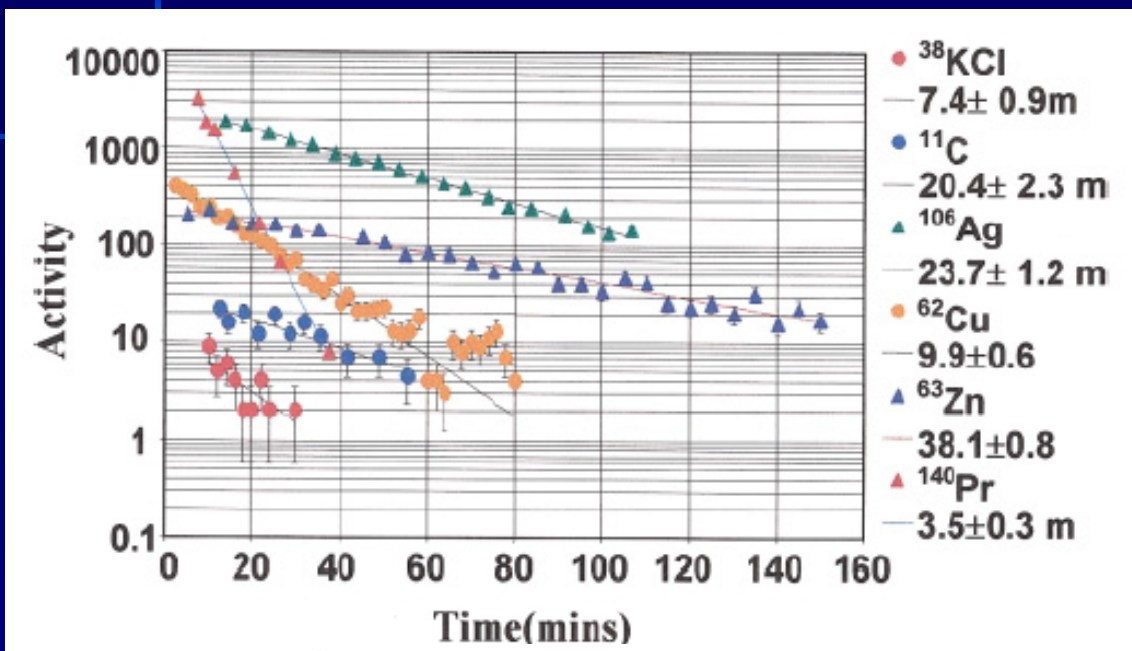
Photoinduced nuclear reactions: $^{238}\text{U}(\gamma, \text{f})$

$I \sim 5 \times 10^{19} \text{ W cm}^{-2}$, $\tau \sim 1 \text{ ps}$

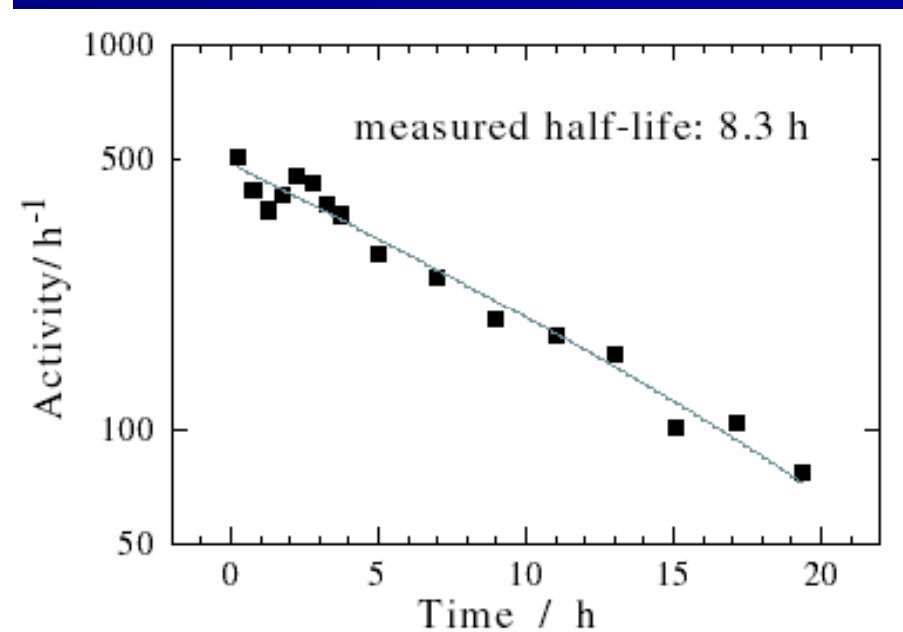
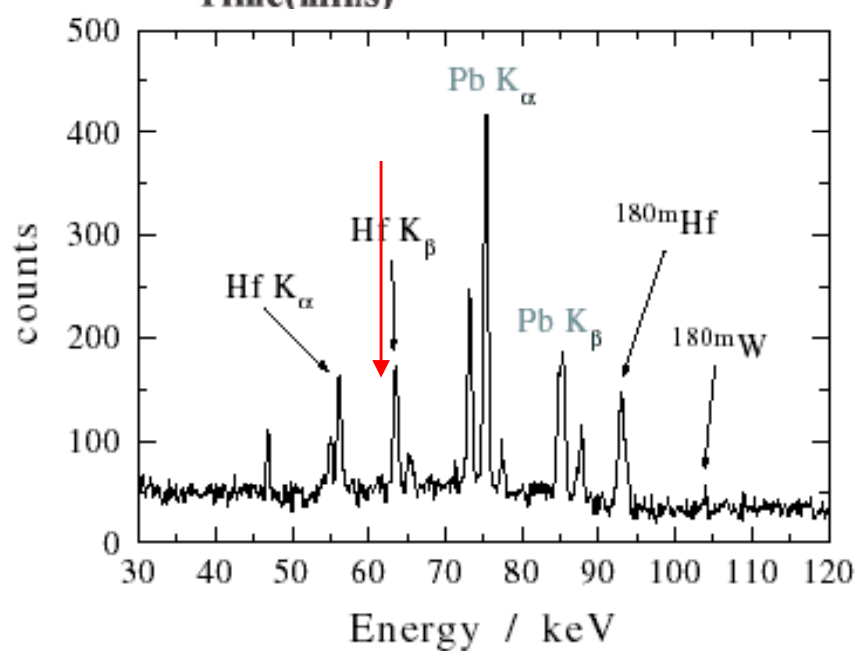


Rutherford: K.W. D. Ledingham, I. Spencer, T. McCanny, et al PR 84 899 (2000)
LLNL: T. E. Cowan, A.W. Hunt, T.W. Phillips, et al PR 84 903 (2000)

Photoinduced reactions (γ , n) : isotope production



$I \sim 5 \times 10^{19} \text{ W/cm}^2, \tau \sim 1 \text{ ps}$

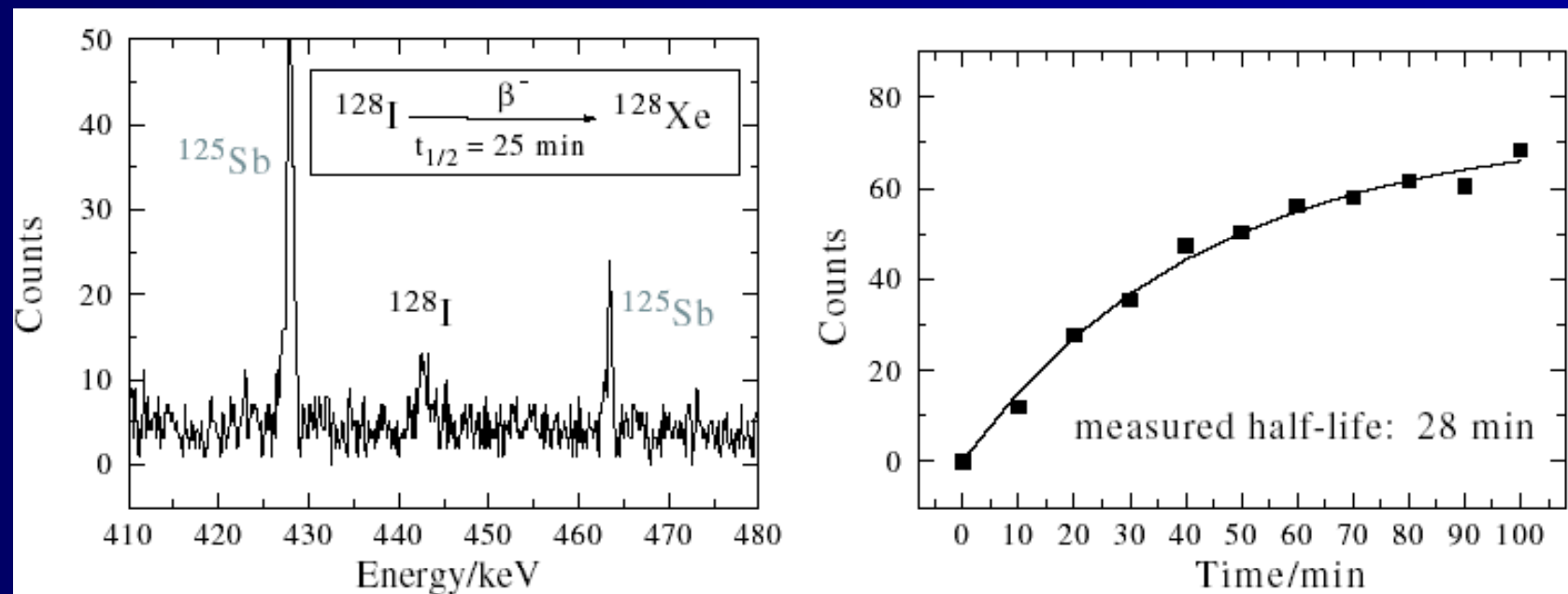


Isotope transmutation



$^{129}\text{I} \rightarrow ^{128}\text{I} \rightarrow ^{128}\text{Xe}$
Spontaneous decay 10^5 years 25 min

$I \sim 10^{20} \text{ W/cm}^2$, $\tau \sim 70 \text{ fs}$ 100 fs 25 min



Plasma waves

$$\vec{\nabla}^2 \vec{E} - \vec{\nabla}(\vec{\nabla} \cdot \vec{E}) + \frac{\omega^2}{c^2} \varepsilon \vec{E} = 0$$

$$\varepsilon = 1 - \omega_{pe}^2 / \omega^2$$

$$\omega_{pe} = \sqrt{4\pi e^2 n_0 / m}$$

$$k^2 \vec{E} - \vec{k}(\vec{k} \cdot \vec{E}) + k_0^2 \varepsilon \vec{E} = 0$$

$$\begin{cases} (k^2 - k_x^2 - k_0^2 \varepsilon) E_x - k_x k_y E_y - k_x k_z E_z = 0 \\ -k_x k_y E_x + (k^2 - k_y^2 - k_0^2 \varepsilon) E_y - k_y k_z E_z = 0 \\ -k_x k_z E_x - k_y k_z E_y + (k^2 - k_z^2 - k_0^2 \varepsilon) E_z = 0 \end{cases}$$

$$\varepsilon(\omega) [k^2 - k_0^2 \varepsilon(\omega)] = 0$$

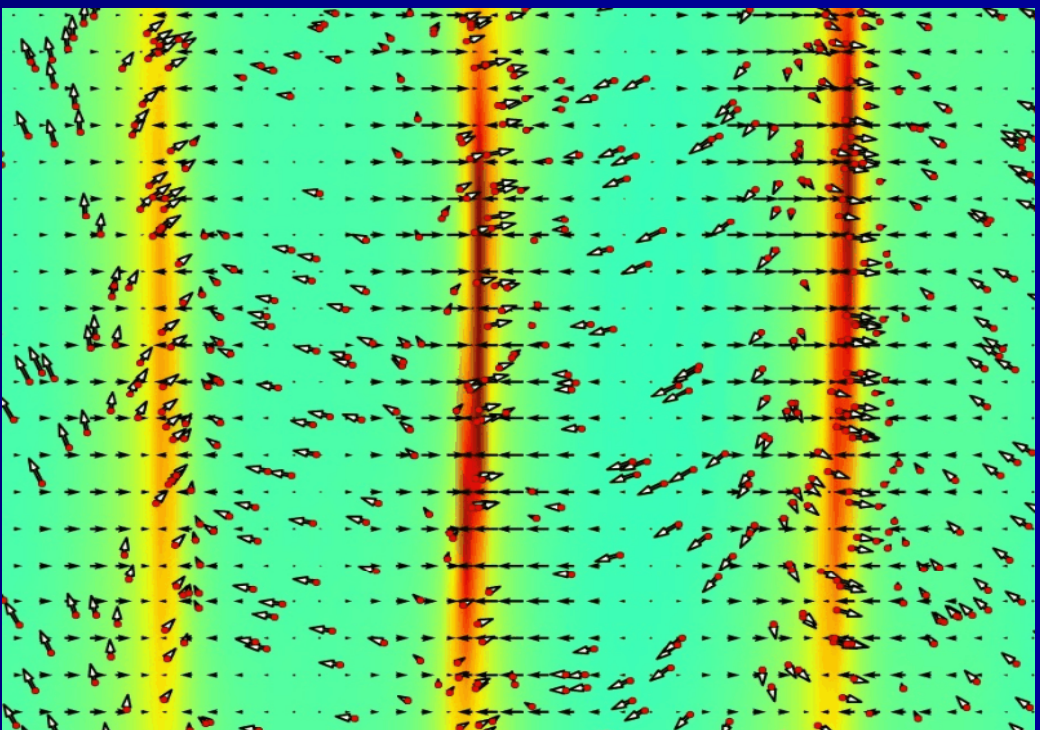
$$\xrightarrow{\qquad} \begin{cases} \omega^2 = \omega_p^2 + c^2 k^2 & \textbf{Electromagnetic wave} \\ \omega = \omega_p & \textbf{Electrostatic wave} \end{cases}$$

Plasma waves

Electromagnetic wave



Electrostatic wave



Wake field generation

$$m_e \left(\frac{\partial \mathbf{v}}{\partial t} + (\mathbf{v} \cdot \nabla) \mathbf{v} \right) = -e(\mathbf{E} + \mathbf{v} \times \mathbf{B})$$

$\mathbf{v} \approx \mathbf{a}c$

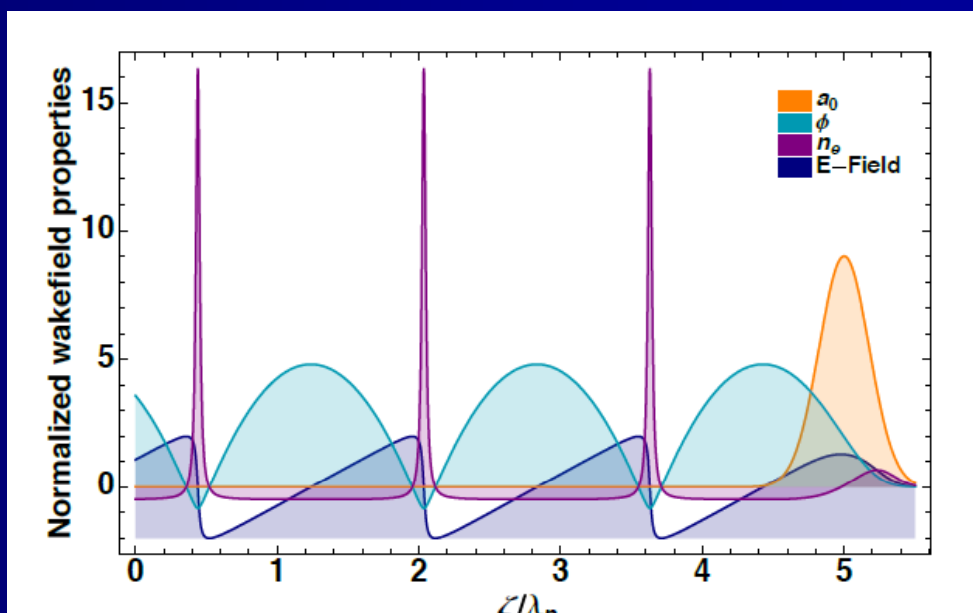
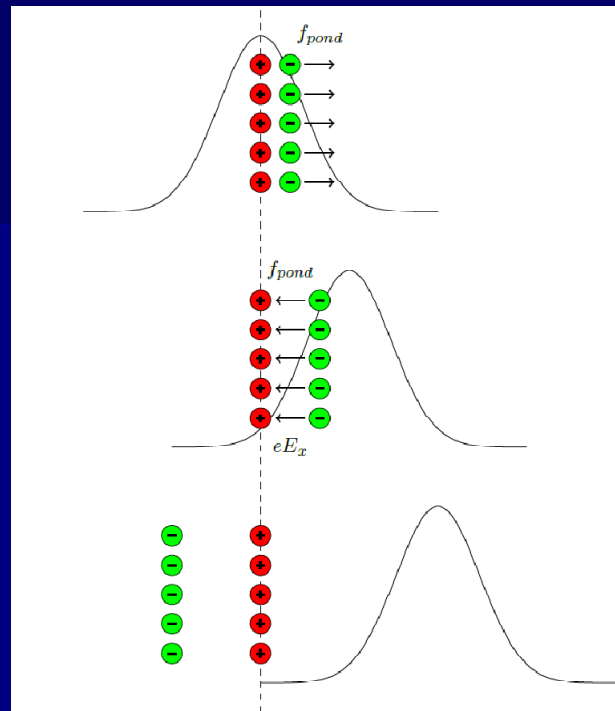
$$\mathbf{B} = \frac{m_e c}{e} \nabla \times \mathbf{a}$$

$$\frac{\partial n_e}{\partial t} + \nabla \cdot (n_e \mathbf{v}) = 0$$

$$\nabla \cdot \mathbf{E} = -\frac{e(n_e - n_i)}{\epsilon_0}$$

$$\left(\frac{\partial^2}{\partial t^2} + \omega_p^2 \right) \delta n_e = \frac{1}{2} n_0 c^2 \nabla^2 |\mathbf{a}|^2$$

$$n_e = n_0 + \delta n_e \quad \omega_p = \sqrt{\frac{n_e e^2}{m_e \epsilon_0}}$$



Wavebreaking



$$E_{\parallel} = \frac{mc\omega_p}{e} \frac{\frac{a_0^2}{2}}{\sqrt{1 + \frac{a_0^2}{2}}}$$

$$\begin{aligned} E_{wb} &= \frac{m\omega_p c}{e} \sqrt{2(\gamma_p - 1)} \\ &= \frac{m\omega_p c}{e} \sqrt{2 \left(\frac{\omega_L}{\omega_p} - 1 \right)} \end{aligned}$$

$$n_e = 1.75 \cdot 10^{19} \text{ cm}^{-3} \hat{=} 0.01 n_{cr}$$

$$\lambda_L = 800 \text{ nm}$$

$$\frac{\omega_L}{\omega_p} = 10$$

$$E_{wb} = 1.7 \frac{\text{TV}}{\text{m}}$$

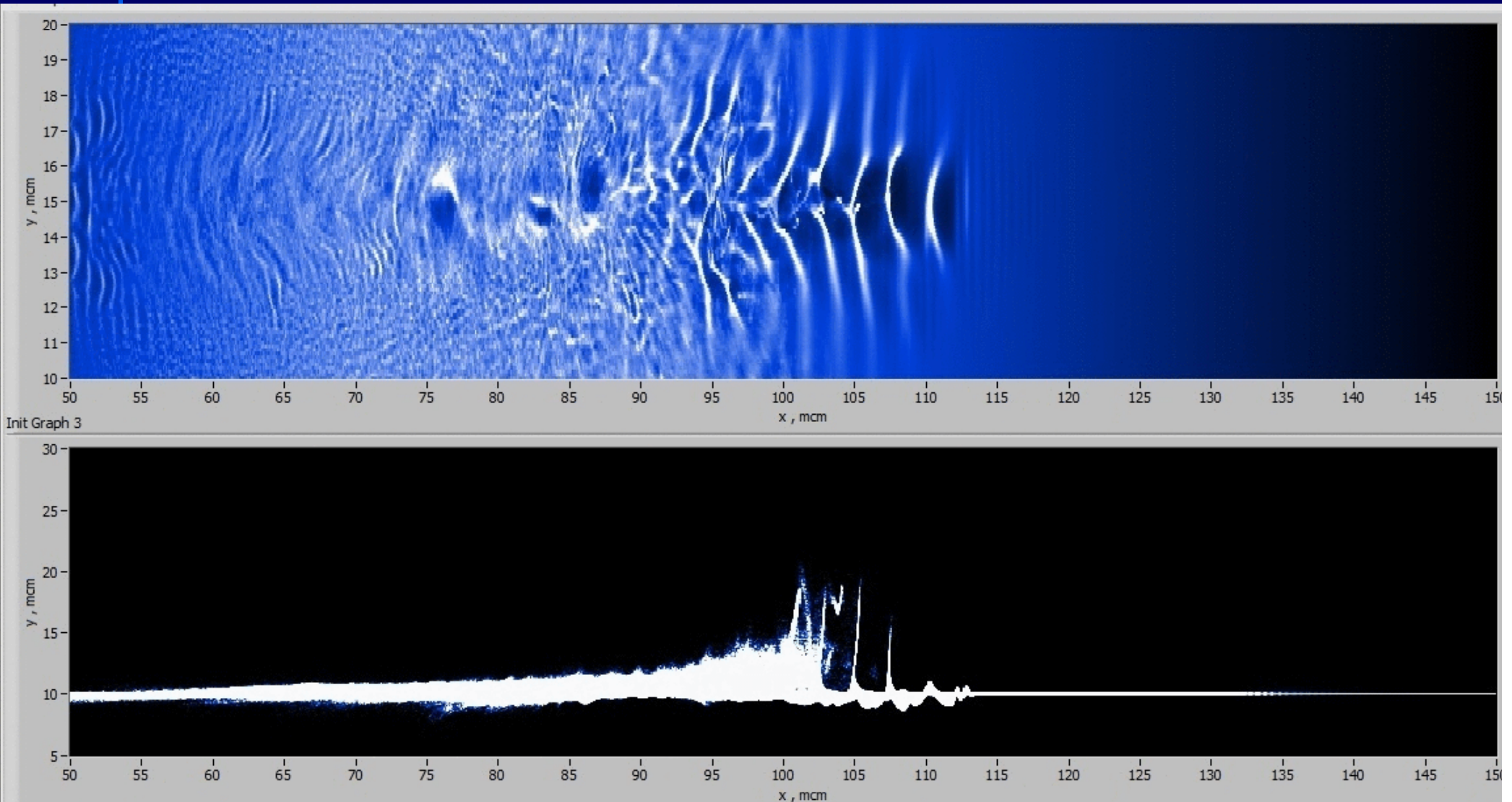


foto-prikol.net

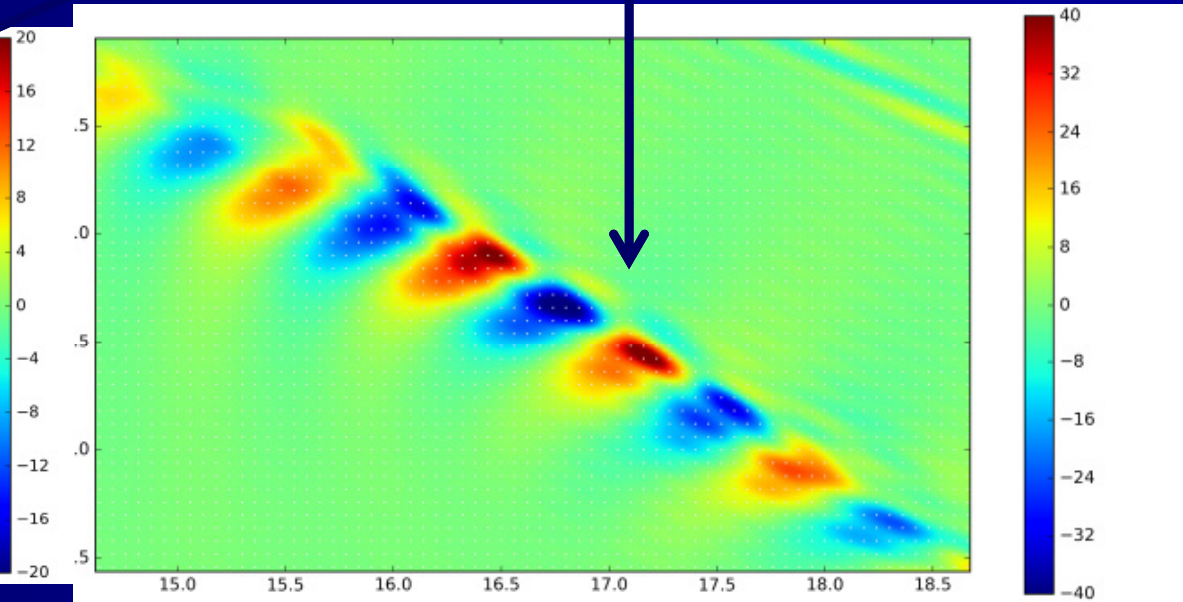
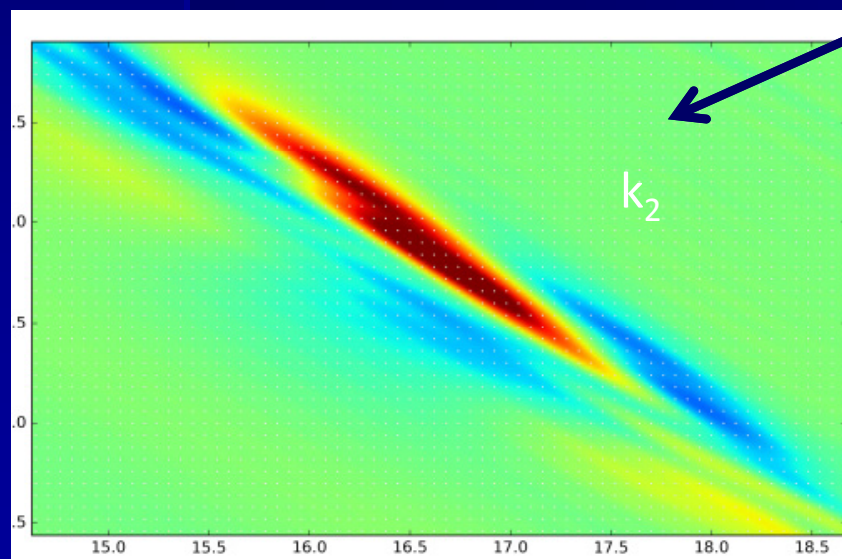
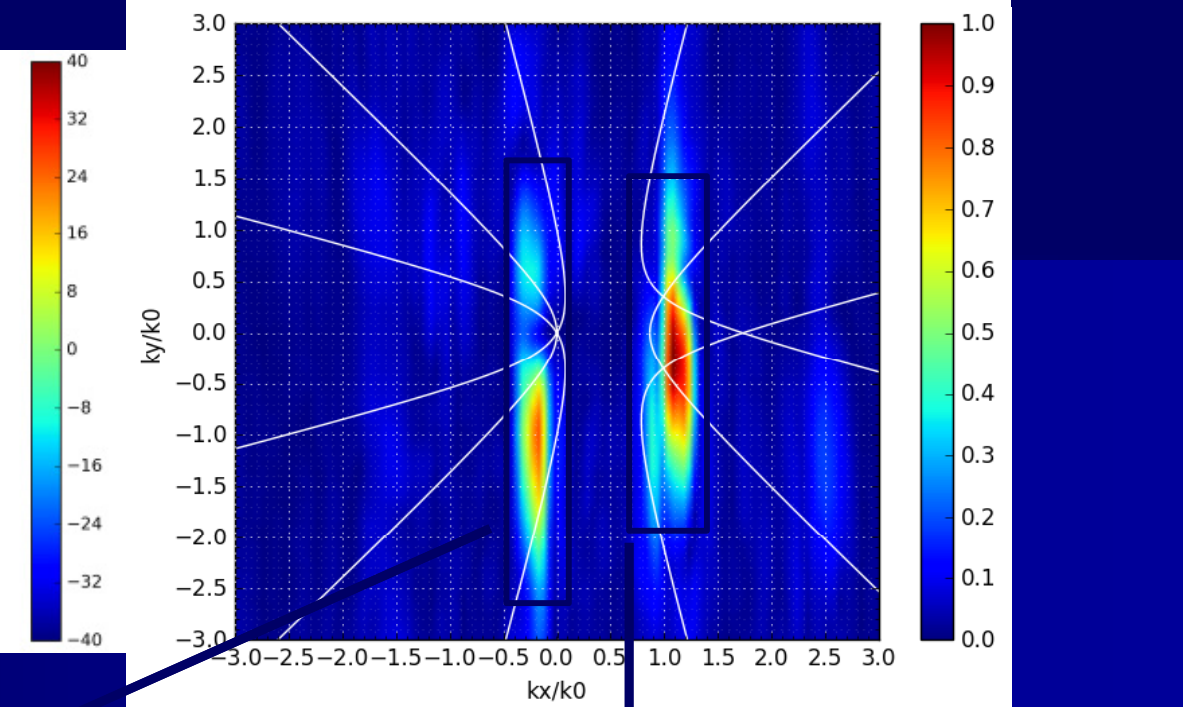
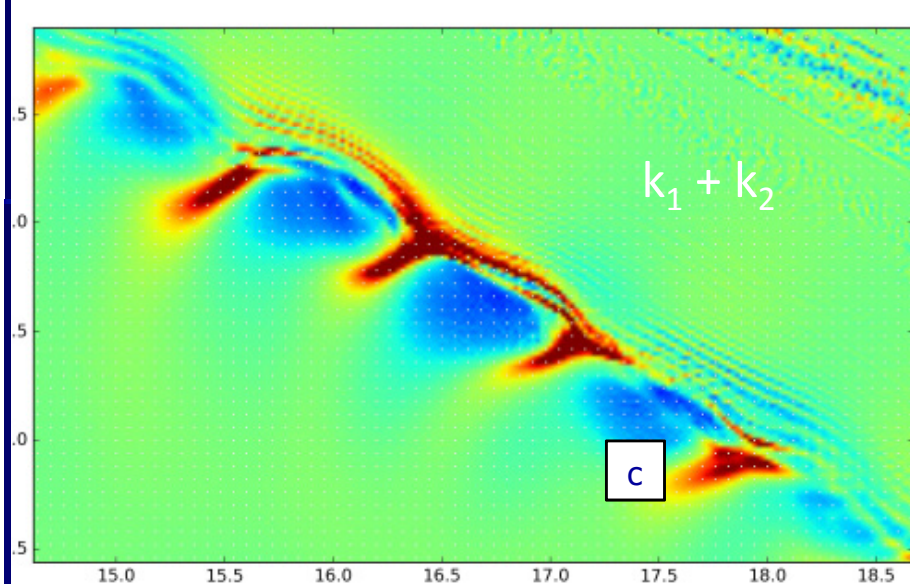


foto-prikol.net

Electron acceleration in plasma



Plasma waves from SRS-TPD instability



$$\pi_0 \sim -\nabla E^2$$

Hybrid SRS-TPD instability

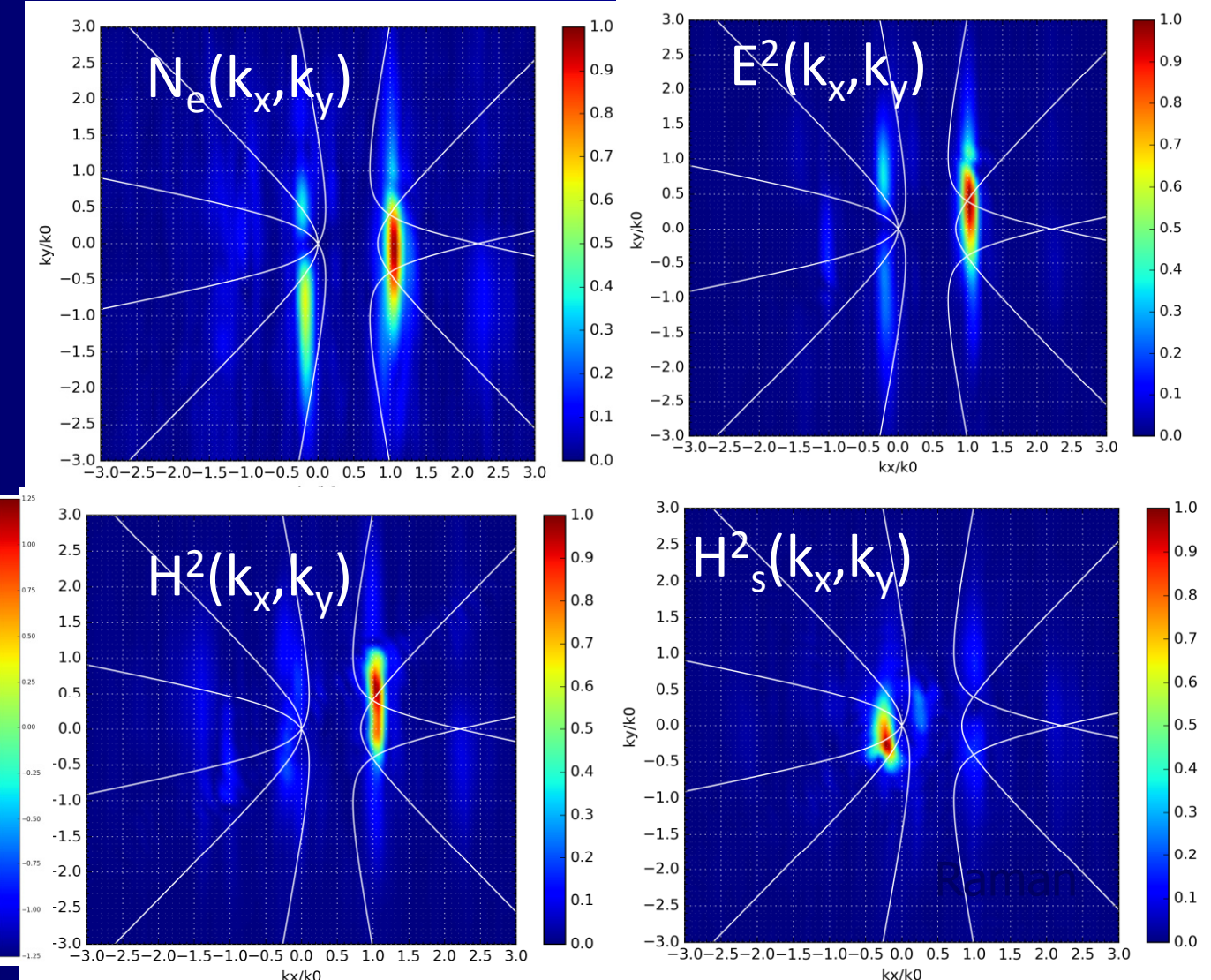
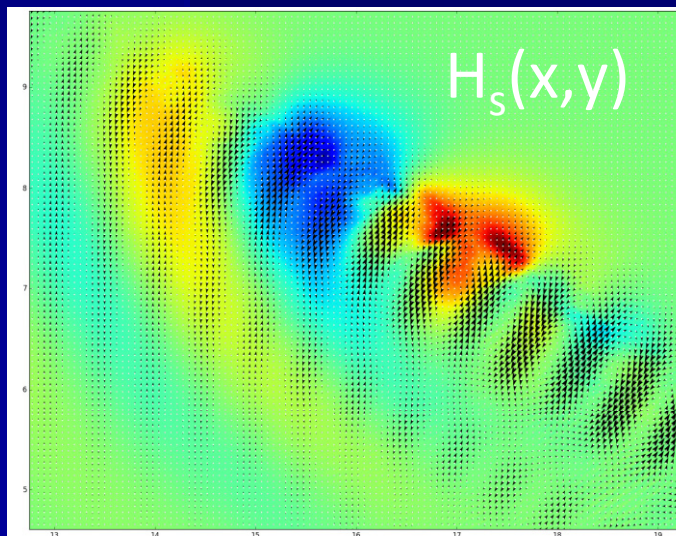
$E^2 = E(\omega_0) E_1(\omega_0/2) + E(\omega_0) E_2(\omega_0/2) + E(\omega_0) E_s(\omega_0/2) + \text{нерезонансные члены}$

$H^2 = H(\omega_0) H_s(\omega_0/2) + \text{нерезонансные члены} \quad K_{1x} + k_{2x} = k_{0x}$

$E_{1,2}(\omega_0/2)$ – поля плазменных волн

$E(\omega_0), H(\omega_0)$ – поля лазерного импульса (накачка)

$E_s(\omega_0/2), H_s(\omega_0/2)$ – поля Стоковой рассеянной электромагнитной волны

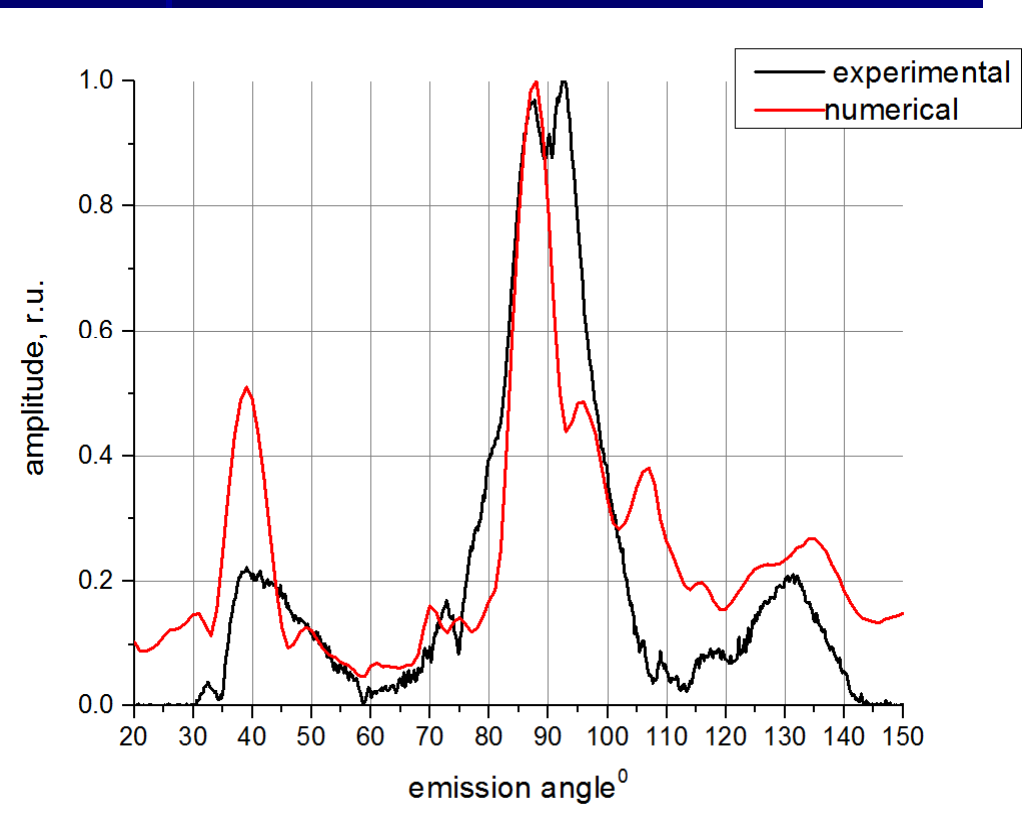
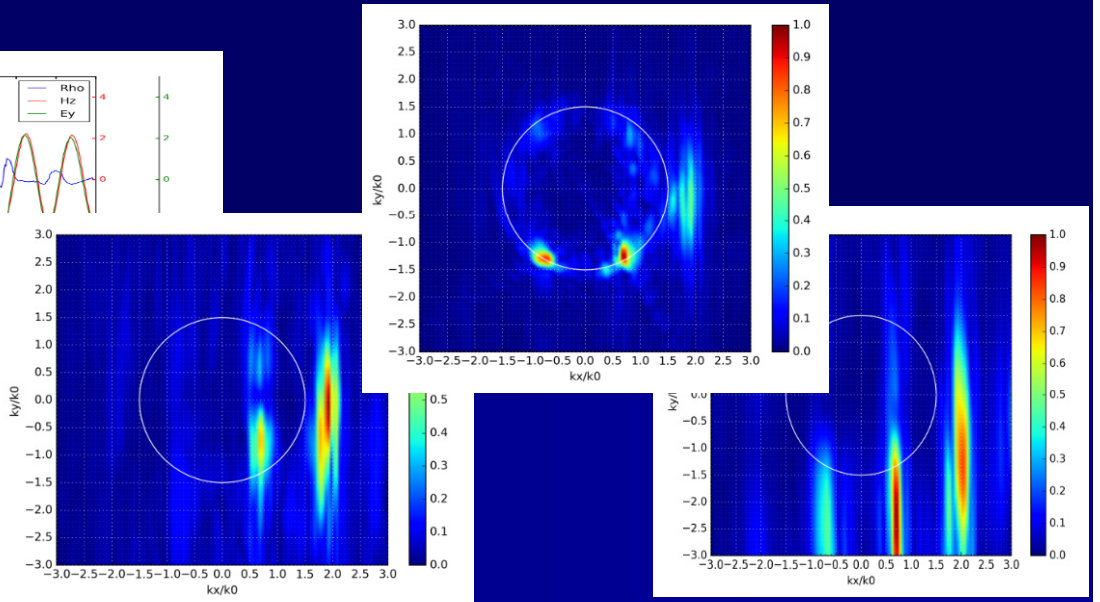
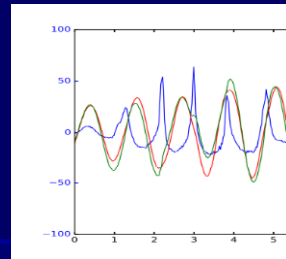


3/2w angular spectrum

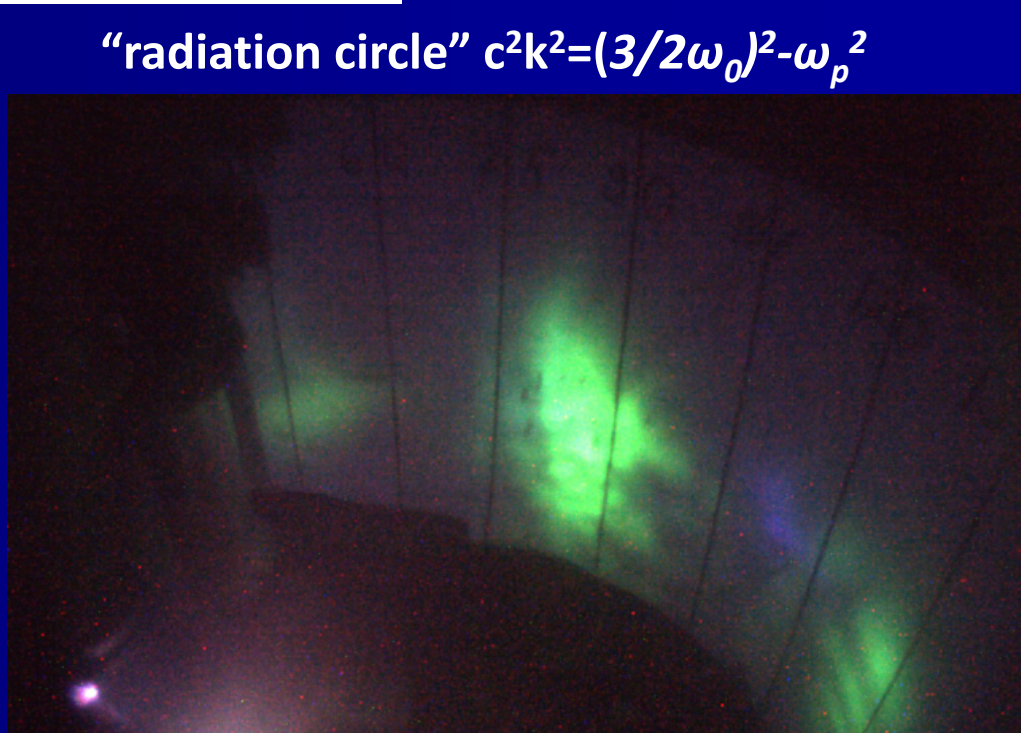
$$\left(\frac{1}{c^2} \frac{\partial^2}{\partial t^2} - \nabla^2 \right) \underline{A}_1 = \frac{4\pi}{c} \underline{j}_t$$

$$j_1(3\omega_0/2) = \rho(\omega_0/2)v(\omega_0)$$

$$j_2(3\omega_0/2) = \underline{\rho(2\omega_0/2)}v(\omega_0/2)$$



“radiation circle” $c^2k^2 = (3/2\omega_0)^2 - \omega_p^2$

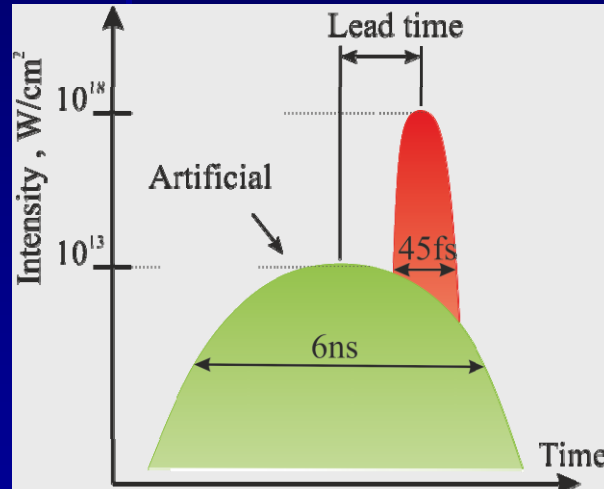


Лазерно-плазменный ускоритель в плазме подкритической плотности

- ✓ Controlled energy deposition – plasma plume velocity control
- ✓ Controlled timing – plasma plume extent control
- ✓ Different wavelengths - feasibility of optical diagnostics

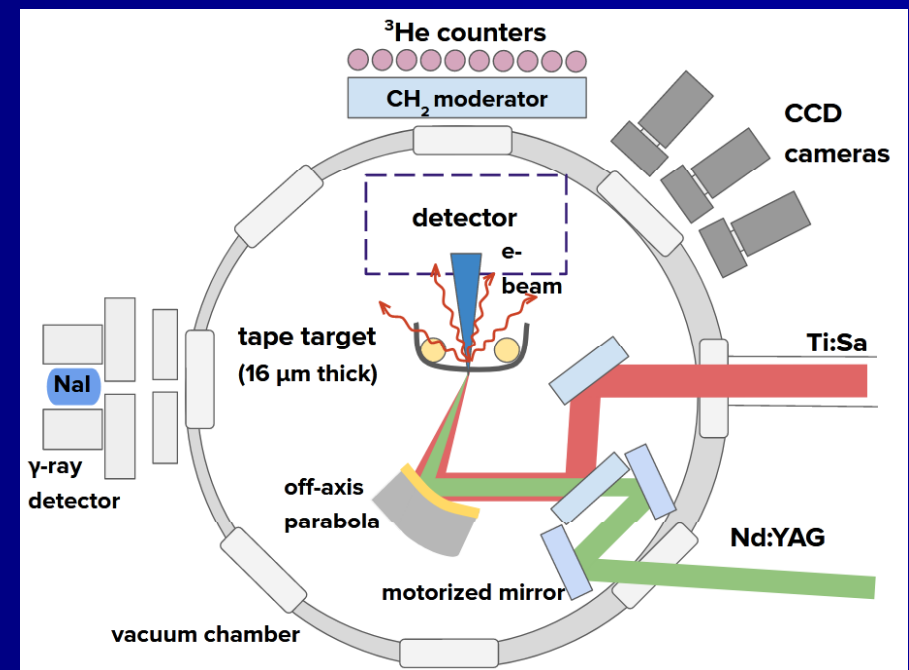
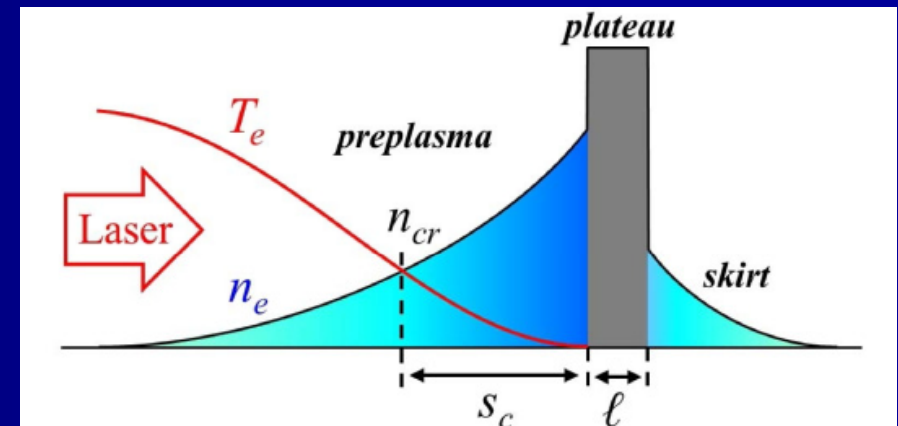
Laser pulse parameters (Ti:Sapphire):

$\tau_p = 45 \pm 5 \text{ fs}$; $\lambda = 800 \text{ nm}$;
10 Hz; up to 50 mJ; $M^2 = 1.4$
 $I_{max} > 5 * 10^{18} \text{ W/cm}^2$; contrast 10^8 .

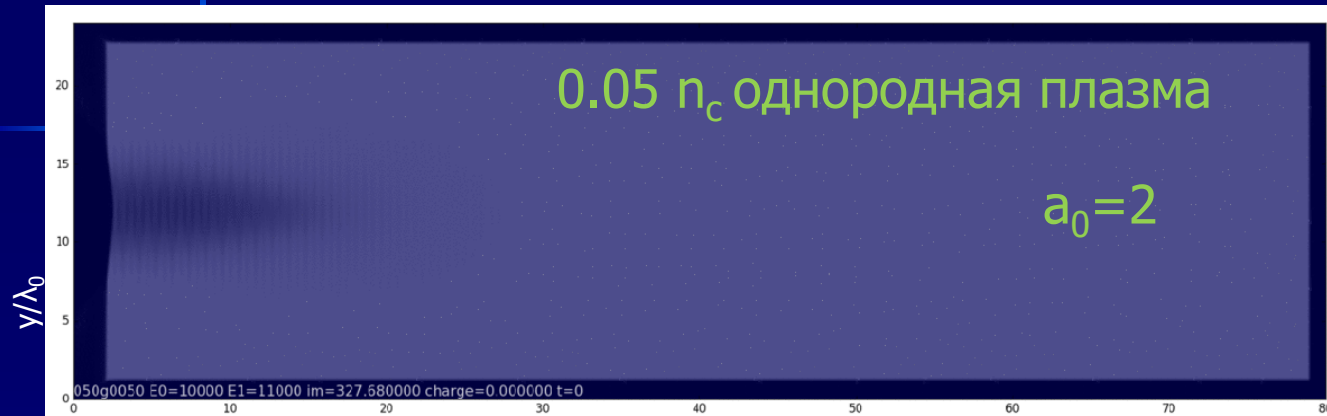


Laser pulse parameters

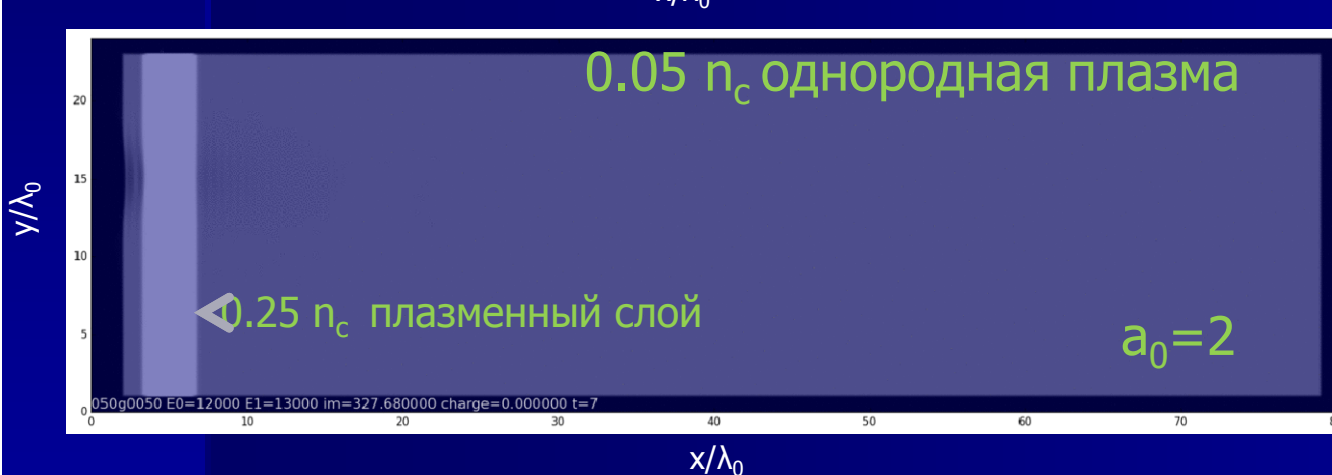
(Nd:YAG):
 $\tau_p = 6 \text{ ns}$; $\lambda = 532 \text{ (1064) nm}$;
(locked with Ti:Sa, accuracy $\sim 1 \text{ ns}$);
 $E_p = 70 \text{ (230) mJ}$; $I \sim 10^{12} \text{ W/cm}^2$.



Формирование коллимированных электронных пучков с большим зарядом в режиме DLA



Белым показана электронная концентрация; нет электронов с энергиями $>4mc^2$



Белым показана электронная концентрация, красным – электроны с $E>20mc^2$

Схема с инжекцией в плазменный канал за счет распада волн параметрических неустойчивостей в тонком слое более плотной плазмы

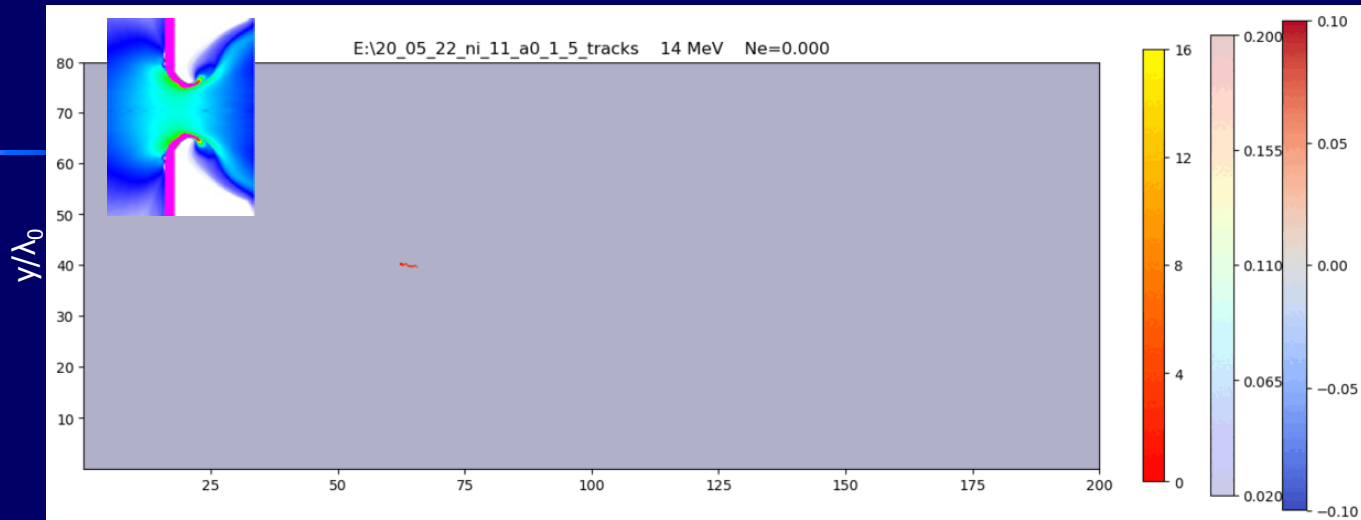
Plasma Phys. Control. Fusion. 2019.
Vol. 61, № 7. P. 075016

Plasma Phys. Control. Fusion. 2021.
Vol. 62, № 2. P. 02201

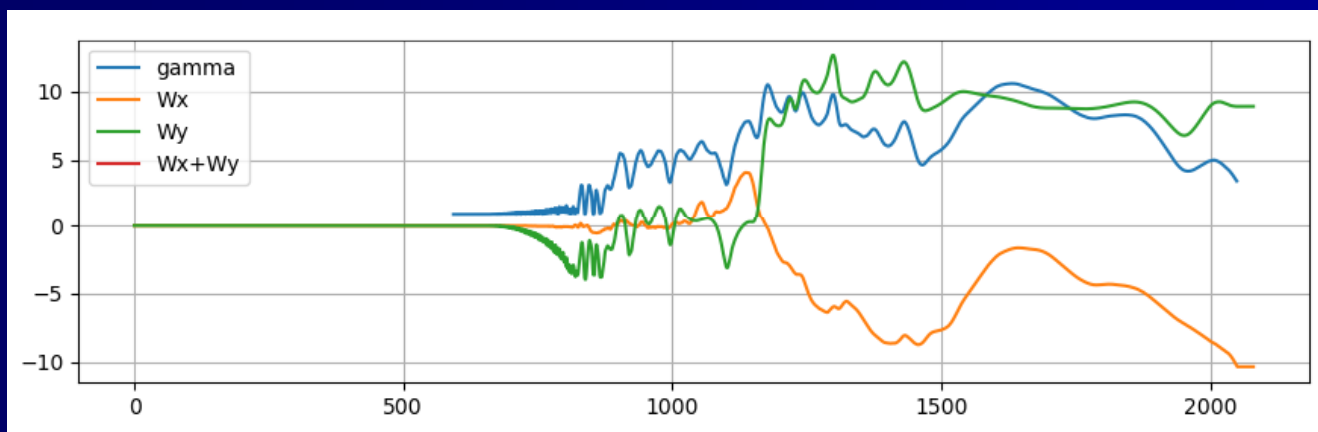
Physical Review E 2020, 102(6), 063206

SMILEY modeling

$a_0=1.5, \tau=50\text{fs}, D_f=4\lambda$

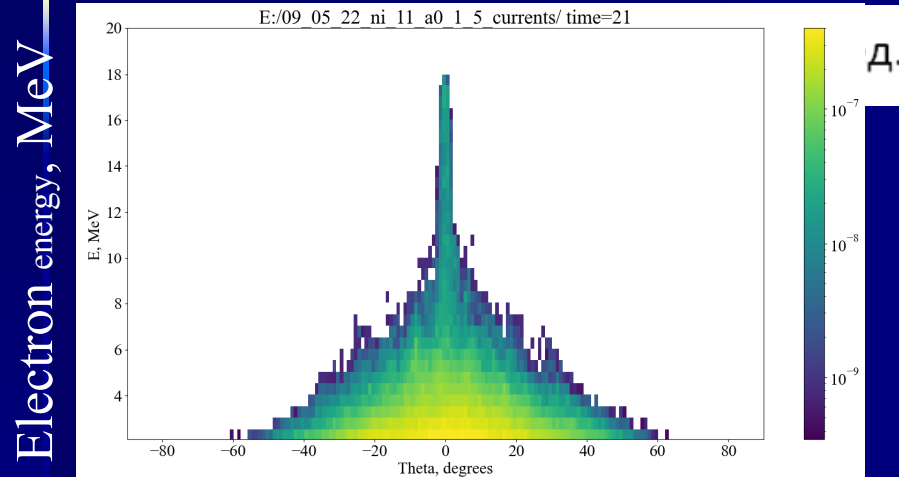


Energy gain $W_x = -e \int_0^t E_x v_x dt$ $W_y = -e \int_0^t E_y v_y dt$



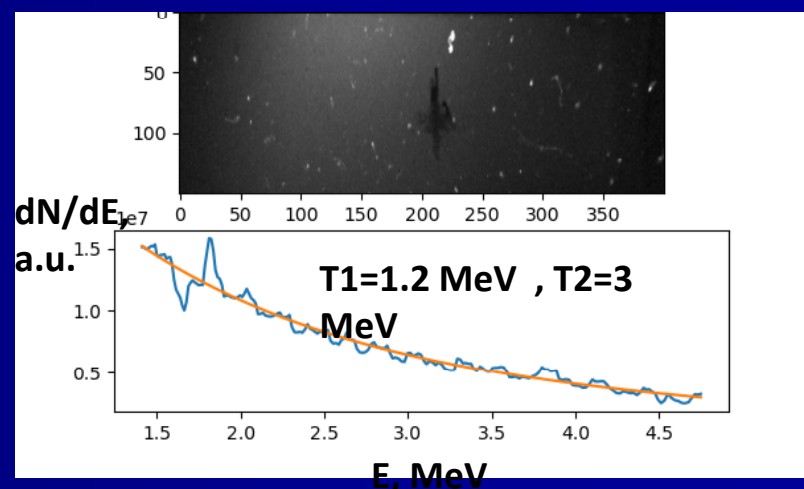
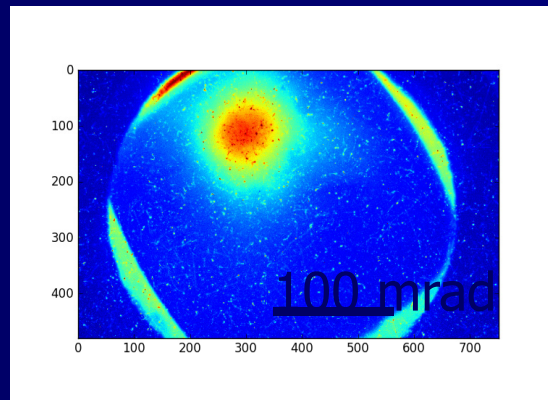
Electron beam data

1 ТВт (50 мДж, 50 фс) 100 пКл ($E > 2$ МэВ)



Q~50-100 pC for $E > 1.7$ MeV

Q~1-2 nC/J for $E > 1.7$ MeV



Источники гамма излучения

- Тормозное излучение



- + большой заряд пучка электронов
- + широкий спектр вплоть до десятков МэВ
- + простота реализации
- + мишень рядом с гамма-источником
- сложно выделить узкую полосу
- большая расходимость
- существенный радиационный фон

Повышение интенсивности и (или) энергии лазерного импульса – увеличение потока гамма-квантов и их энергии

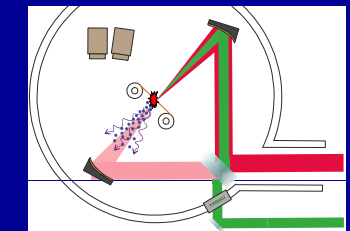
- комптоновское рассеяние
- С использованием лазерного ускорения электронов

DLA, LWFA, новые схемы

- С использованием линейного ускорителя

- ✓ Томсоновский генератор на линейном ускорителе 50-700 МэВ

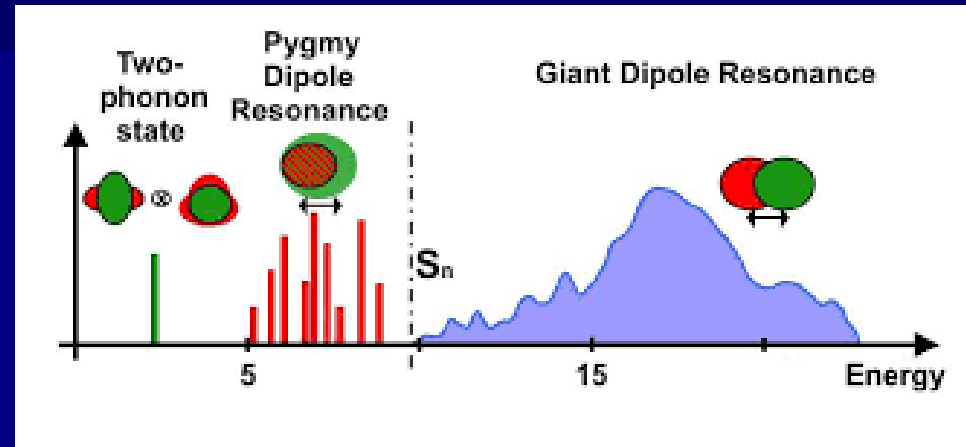
- + узкий спектр
- + перестройка по энергии квантов ($\Theta-\lambda$)
- + малая расходимость
- + угловой момент фотонов
- малый заряд
- для перехода в область 10 МэВ и выше нужны электроны с энергией 0.5 ГэВ и более
- мишень вдали от источника



Повышение интенсивности и (или) энергии лазерного импульса – нелинейное рассеяние или увеличение сечения пучка – ухудшение монохроматичности и другие проблемы

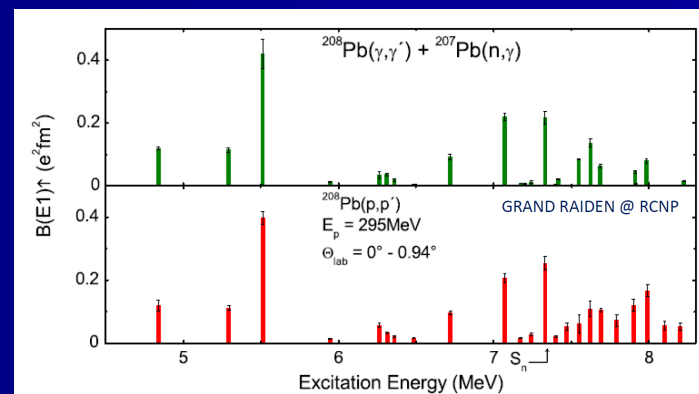
Исследование сечений фотопоглощения

E_{γ} , МэВ	Направление исследований
До 5	Астрофизика
5 – 10	Коллективные возбуждения ядер Гигантские резонансы. Пигми-резонансы
30 – 150	Кластерные состояния. Квазидейтроны
150 – 2000	Нуклонные резонансы. Фоторождение мезонов. Статическая, динамическая, спиновая структура нуклонов
До 10^6	Векторная доминантность, адронизация фотонов

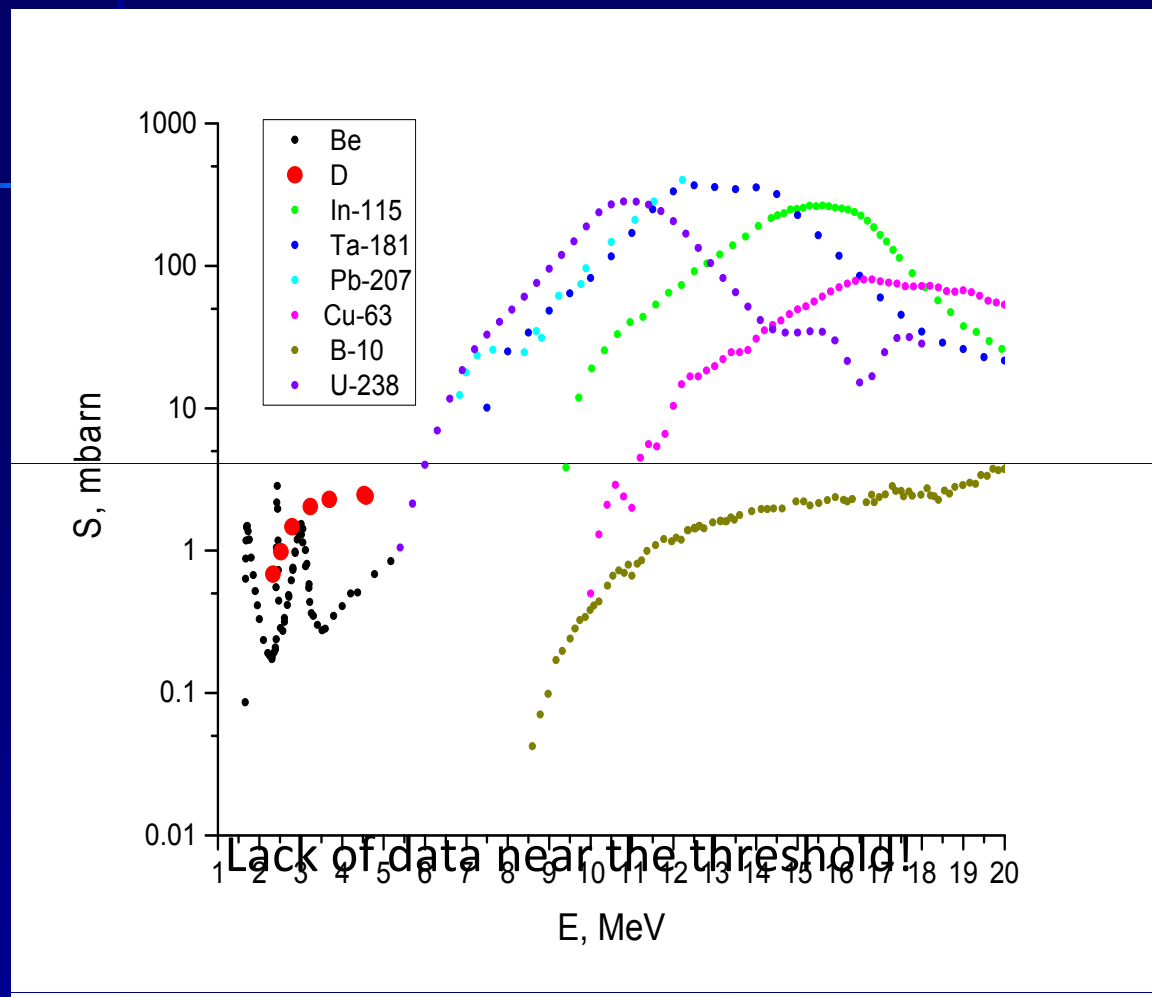


Преимущества методов ядерной фотоники

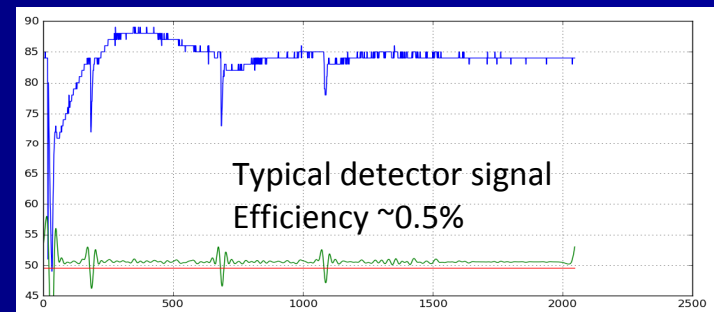
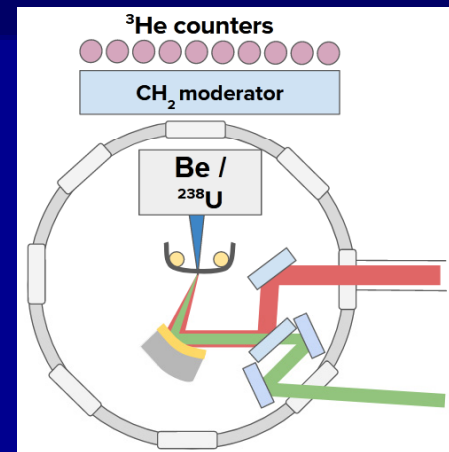
- Мощный короткий импульс возбуждающих частиц (гамма, электроны, протоны,)
- Исследование ПДР под действием разных частиц в едином эксперименте
- Использование метода совпадений для быстрых продуктов реакций
- Корреляционные измерения задержанного гамма-распада
- Исследование нестабильных изотопов и изомеров – наработка лазером
- Исследование переходов с высокой мультипольностью – закрученные фотоны



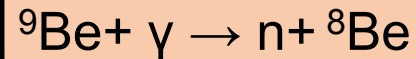
Фотоядерные реакции



34



Neutron generation through photodisintegration



Up to 15 registered neutrons per pulse

Neutron flux
 $\sim 10^5\text{-}10^6 \text{ s}^{-1}\text{J}^{-1}$



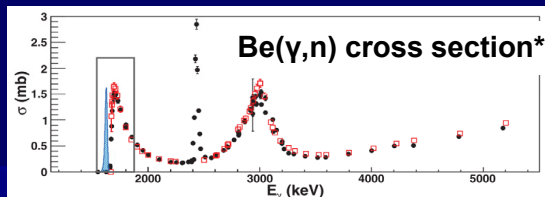
Up to 4 registered neutrons per pulse

Neutron flux
 $\sim 10^5 \text{ s}^{-1}\text{J}^{-1}$

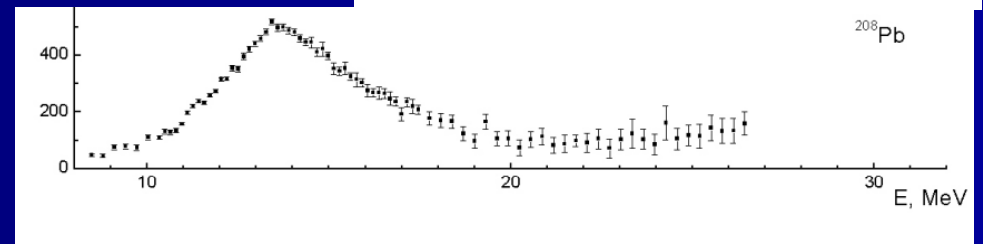


Up to 12 detected neutrons per pulse

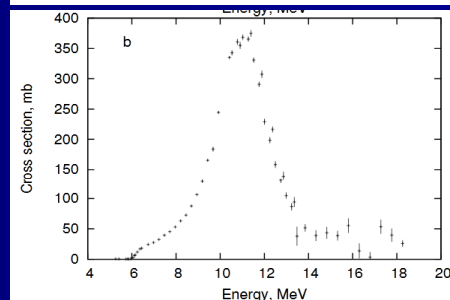
Neutron flux
 $\sim 10^5\text{-}10^6 \text{ s}^{-1}\text{J}^{-1}$



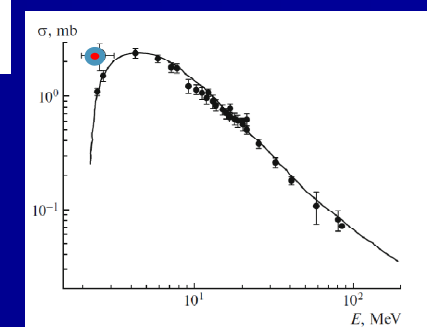
${}^{208}\text{Pb}(\gamma, n)$ cross section*



${}^{238}\text{U}(\gamma, n)$ cross section*



$$\langle \sigma_{\gamma n} \rangle = 2.5 \pm 0.5 \text{ mbarn}$$

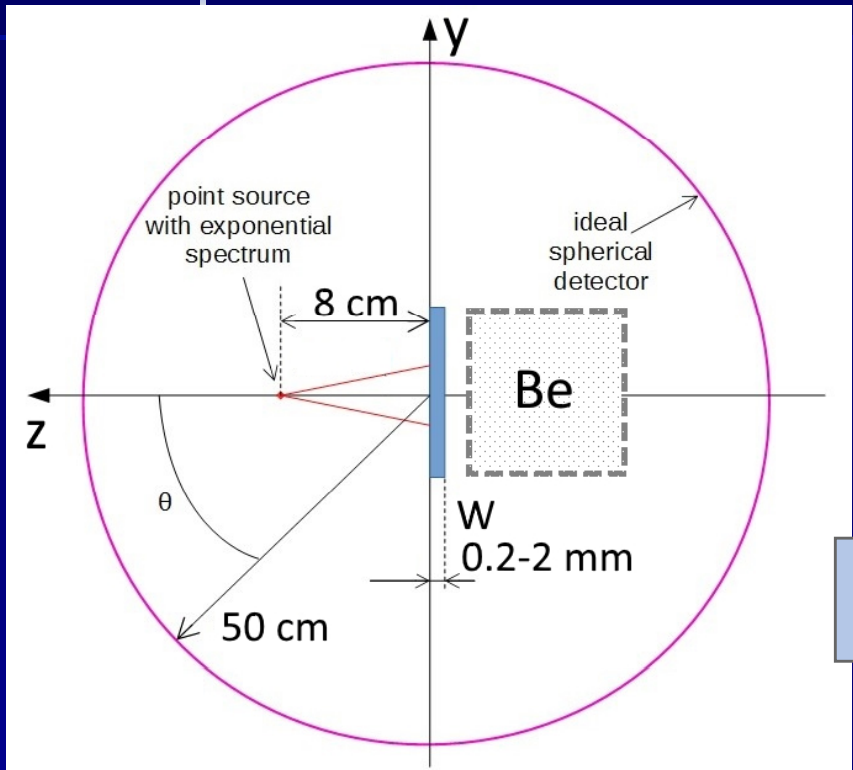


*Ishkhanov, B. S., et al. "Photonuclear reactions and astrophysics." *The Universe Evolution: Astrophysical and Nuclear Aspects* (Nova Science Publishers, New York, 2013)

**Arnold C. W. et al. Cross-section measurement of ${}^9\text{Be}(\gamma, n) {}^8\text{Be}$ and implications for $\alpha + \alpha + n \rightarrow {}^9\text{Be}$ in the r process //Physical Review C. – 2012. – T. 85. – №. 4. – C. 044605.

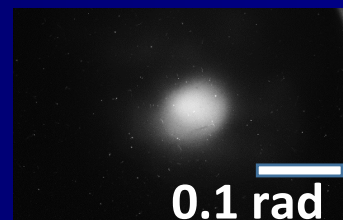
Photonuclear reactions for e-beam charge measurement

GEANT4 simulation geometry

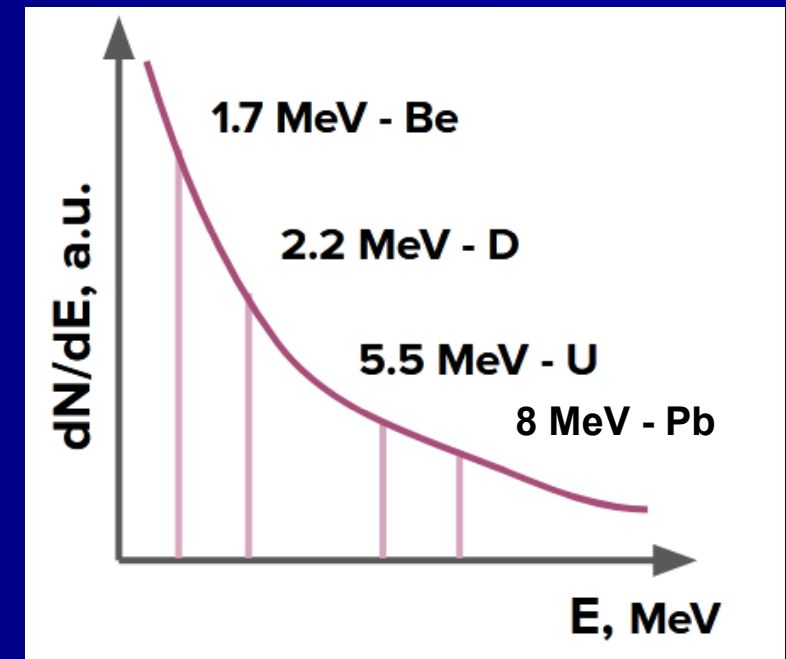


We obtained a conversion coefficient
~neutrons/pC

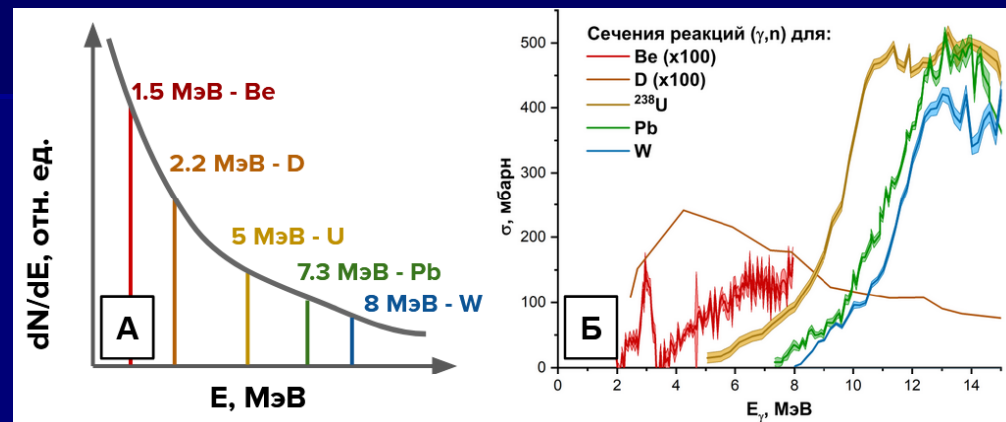
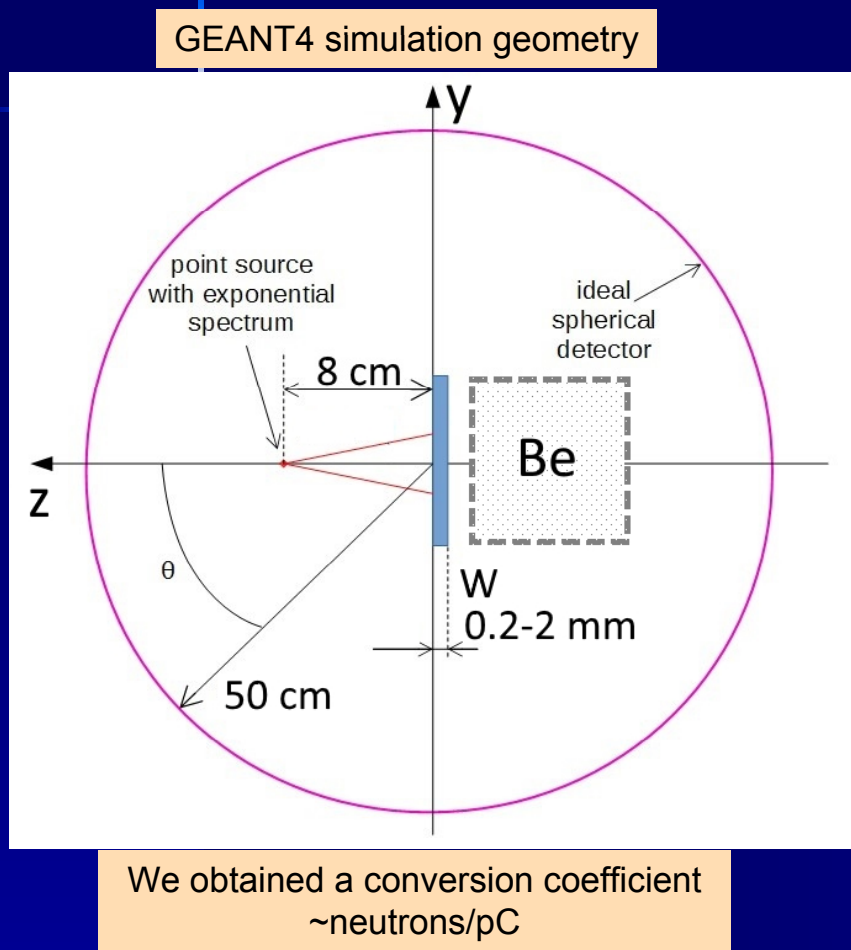
$T \sim 2-2.5$ MeV



$Q \sim 100$ pC
for $E > 1.7$ MeV



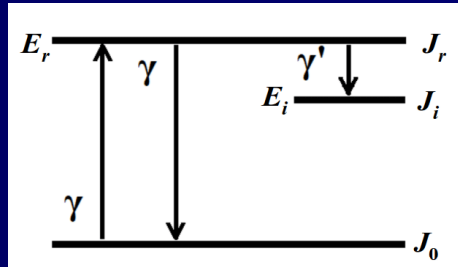
Photonuclear reactions for e-beam charge measurement



target	Be	D_2O	U	Pb	W
T, MeV	Charge Q for electrons with $E > 1$ MeV, pC				
1	270 ± 7	-	-	-	-
	0				
1.5	109 ± 2	$(7 \pm 6) \cdot 10^3$	80 ± 27	105 ± 20	85 ± 24
	6	3			
2	60 ± 14	$(0,6 \pm 0,3) \cdot 10^3$	$11,8 \pm 1,9$	$18,2 \pm 1,2$	$16,0 \pm 1,7$
					ed
2.5	33 ± 8	190 ± 90	$3,0 \pm 0,4$	$4,8 \pm 0,3$	$4,8 \pm 0,3$

Ядерная резонансная флюоресценция

- ❑ необходимые энергии гамма-квантов 0-15 МэВ
- ❑ позволяет получать точную информацию о возбужденном состоянии
- ❑ перестраиваемость комптоновского источника позволит сильно увеличить точность измерений
- ❑ гамма-кванты поляризованы – правила отбора



Наличие нескольких пучков
открывает возможность проведения
более сложных экспериментов



наработка
изотопов



проведение ЯРФ

Исследования ядерных изомеров

Метастабильные состояния ядра с большим временем жизни (наносекунды и выше)

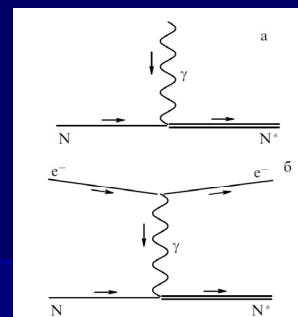
Энергия состояний – от 8 эВ до единиц МэВ

Каналы возбуждения:

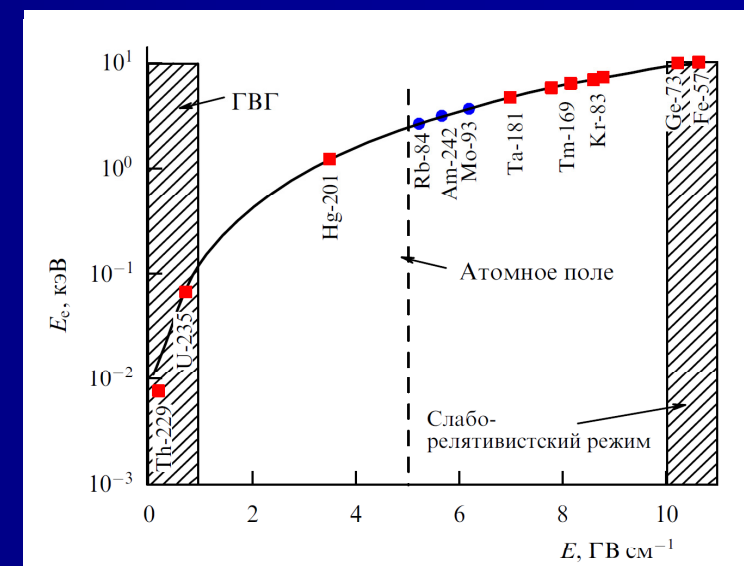
- Однофотонное возбуждение (рентген, гамма)
- Неупругое рассеяние электронов
- Возбуждение электронами через атомную оболочку (обратная внутренняя электронная конверсия и др.)
- Возбуждение лазерным излучением через атомную оболочку
- Прямое (многофотонное??) возбуждение ядра лазерным излучением?



наработка изотопов



Возбуждение ядерных изомеров при ГВГ



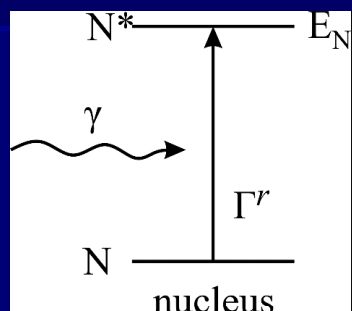
возбуждение изомеров

Kr-83

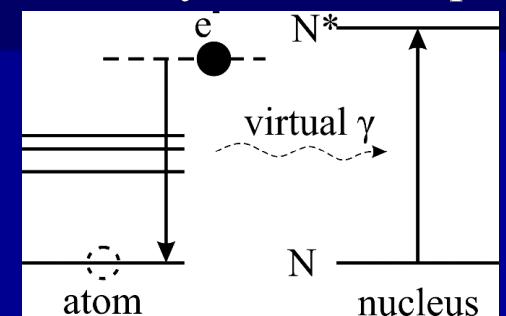
$^{83}_{36}\text{Kr}$:

- Stable
- Fraction in natural Kr – 11.5%
- Two isomeric levels:
 - 9.4 keV with $T_{1/2} = 156.8 \text{ ns}$
 - 41.6 keV with $T_{1/2} = 1.83 \text{ h}$

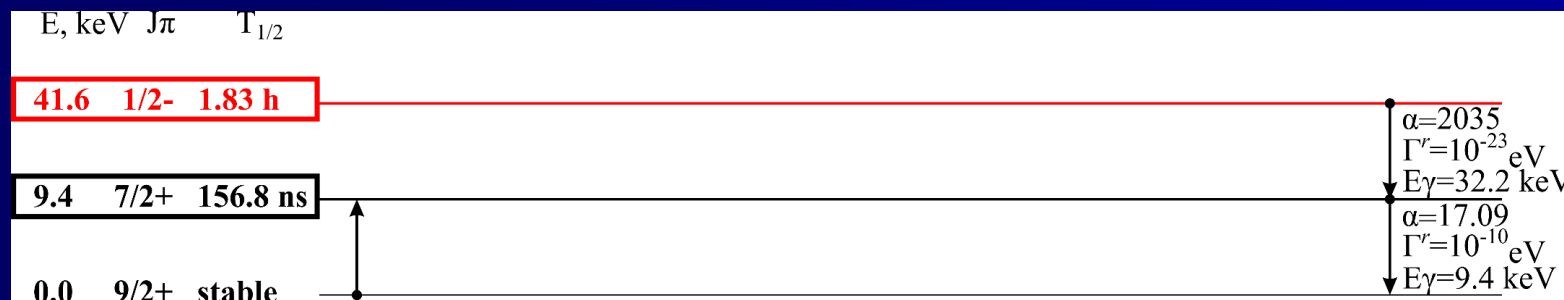
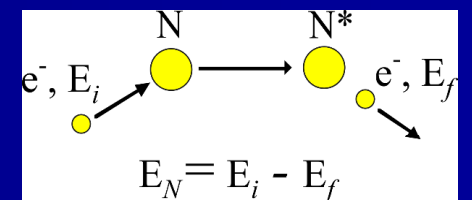
Photoexcitation



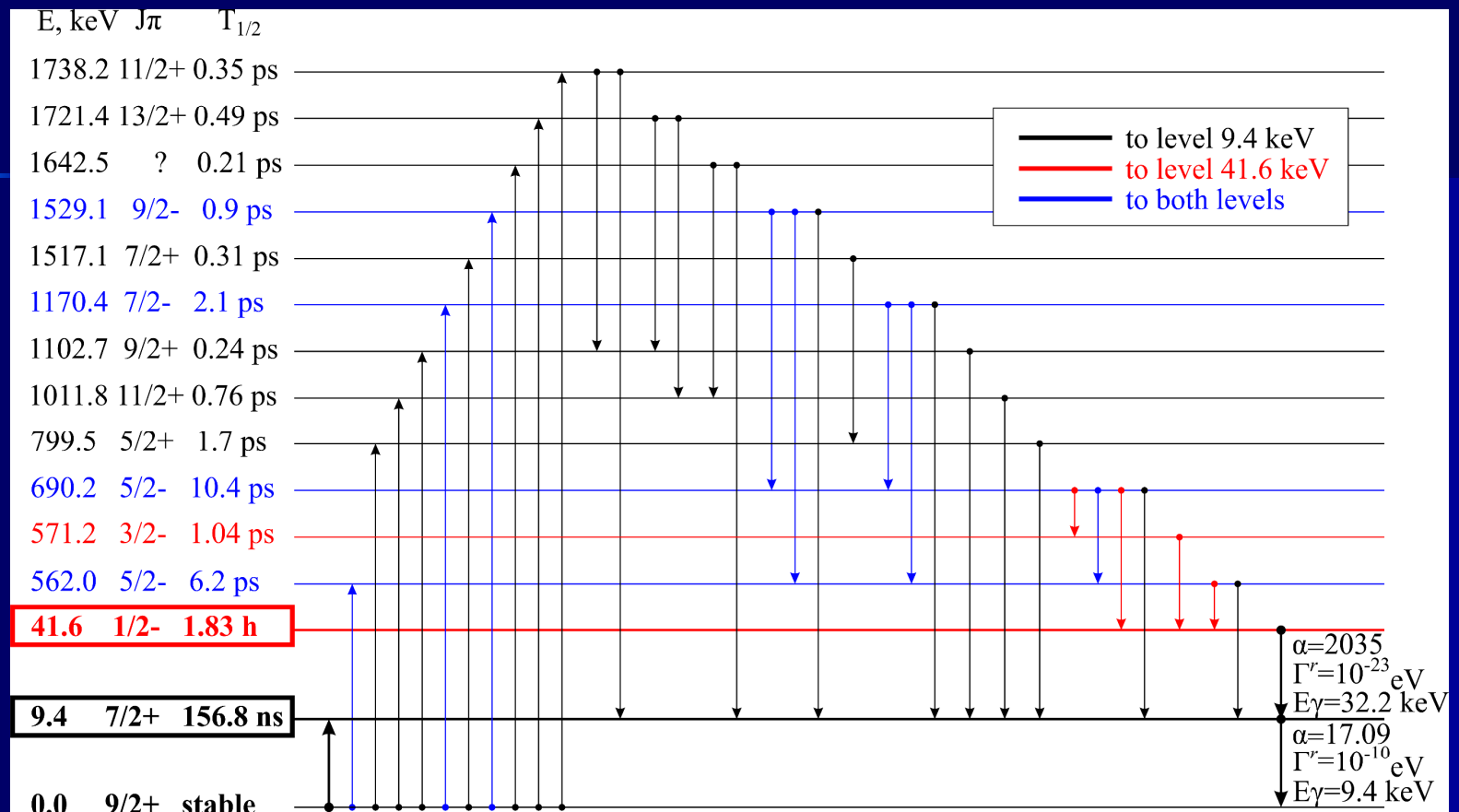
Excitation by electron capture



Inelastic electron scattering (ES)



Kr-83



Through short-lived levels with energies of 0.5–1.7 MeV
 photoexcitation crosssection for 9.4 keV state increased more than 100 times!!!

Генерация позитронов

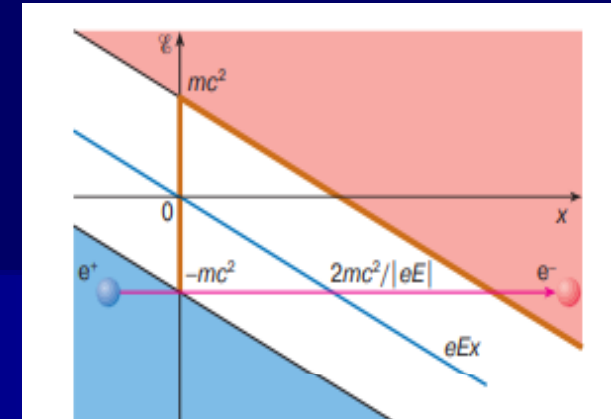
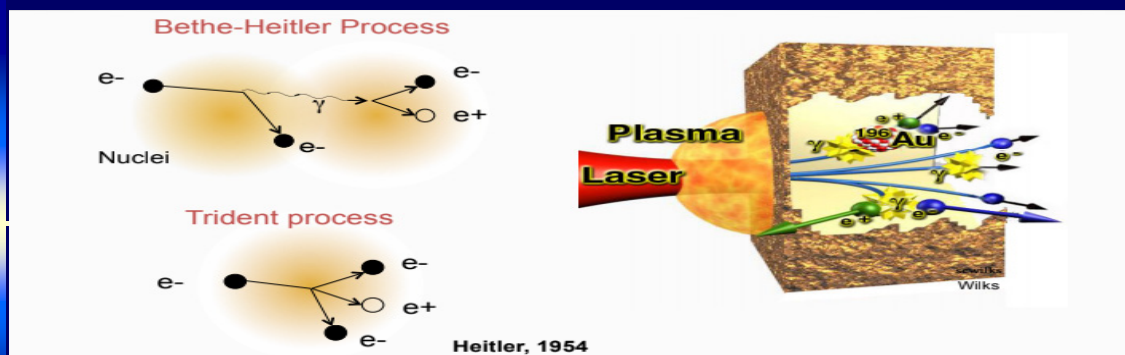
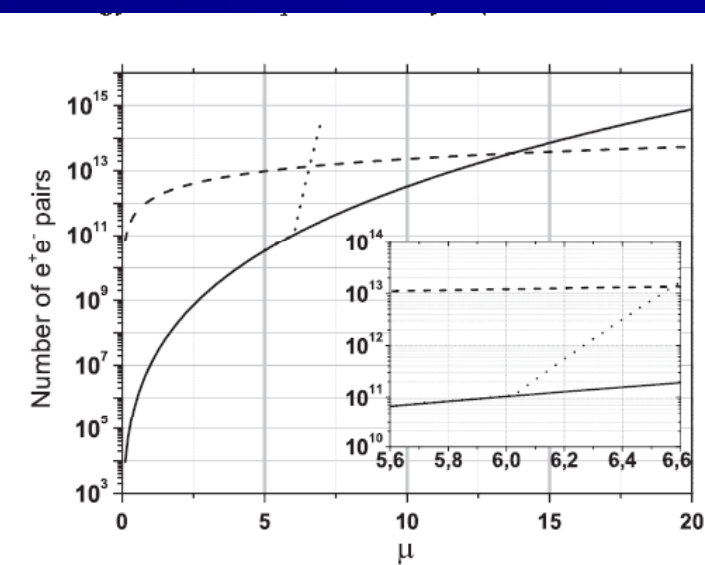


Рис. 2. Вакуумное рождение электрон-позитронной пары под действием сильного постоянного электрического поля E с потенциальной энергией eEx происходит в результате туннелирования электрона из состояния с отрицательной энергией через запрещенную область. Энергия родившихся частицы и античастицы оказывается одинаковой. Форма потенциального барьера изображена жирной линией

$$eE_s l_c = m_0 c^2$$

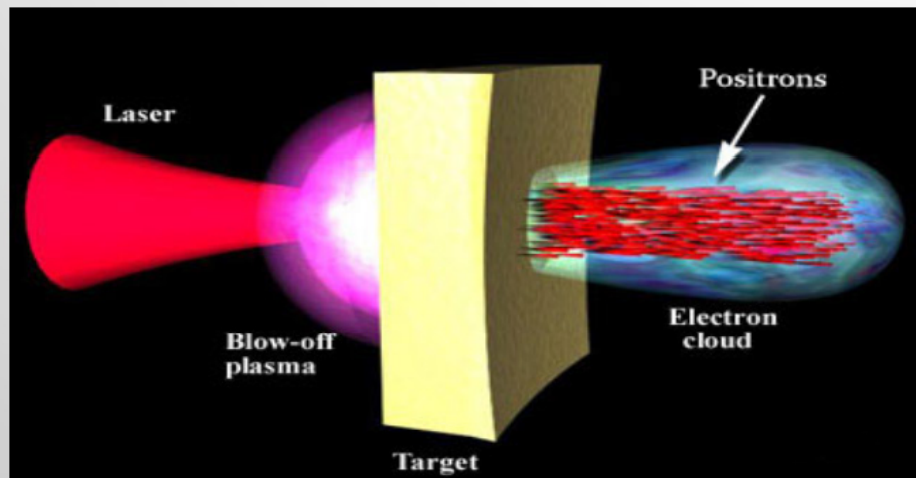
$$E_S = \frac{m^2 c^3}{e\hbar} = 1.32 \cdot 10^{16} \text{ B/cm}$$

$$I_S = (c/4\pi)E_S^2 = 4.65 \cdot 10^{29} \text{ Bt/cm}^2$$



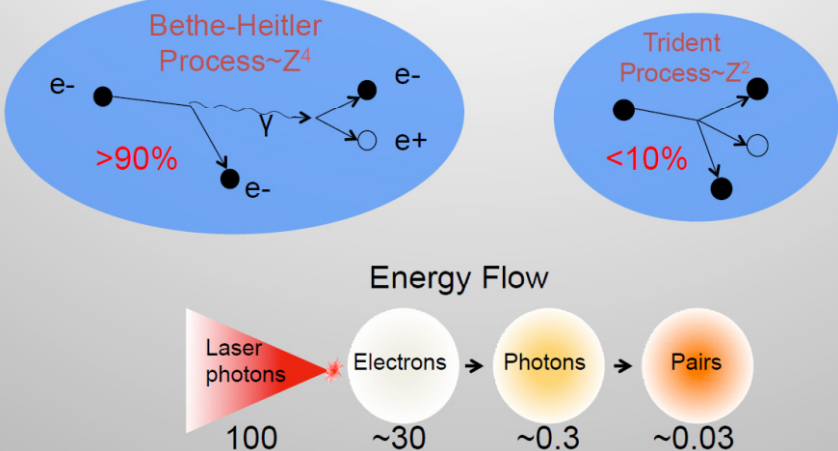
Laser assisted e⁺ production

- Relativistic intensities ($10^{18} – 10^{21}$ W/cm²)
 - Electron acceleration at interaction with solid or gaseous targets
 - Trident or Bethe-Heitler process



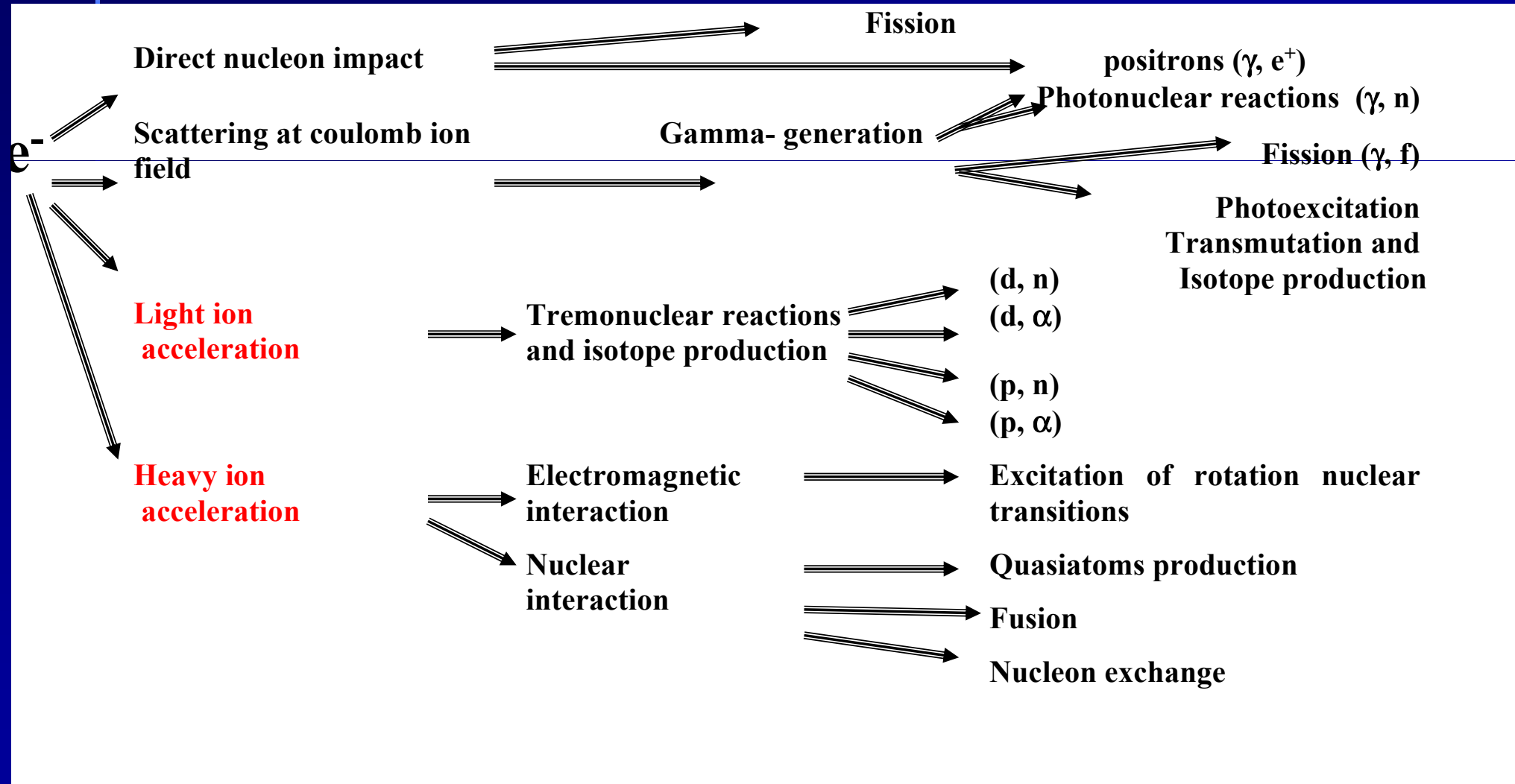
S. Wilks

About 0.03% of laser energy converted to positrons mostly through the Bethe-Heitler process



The positron yield is comparable to that of characteristic x-rays (10^{-4}), indicating an efficient energy transfer from laser to positrons.

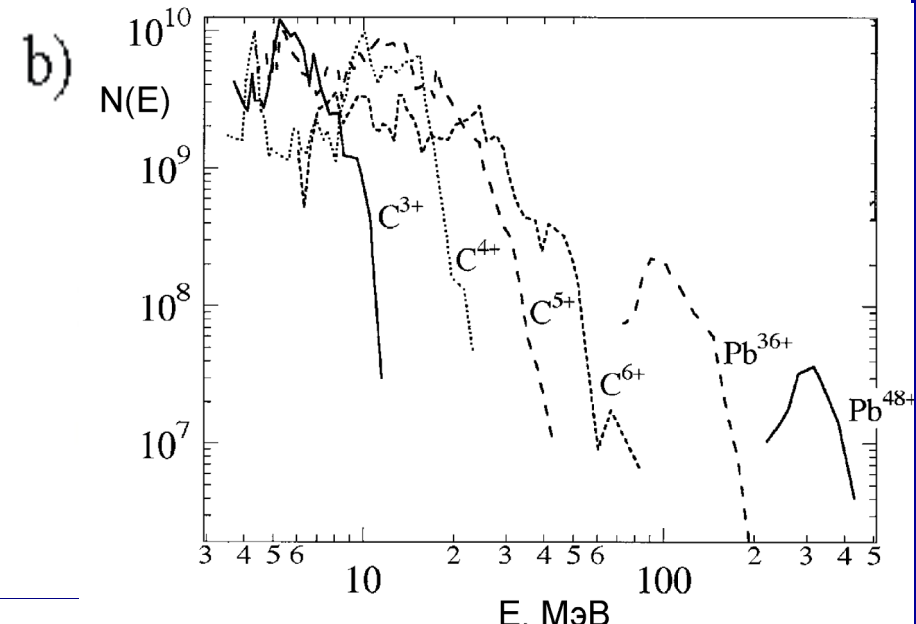
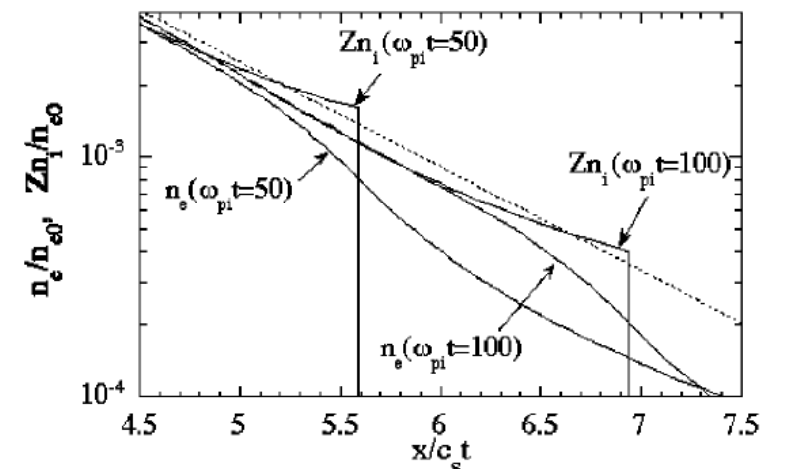
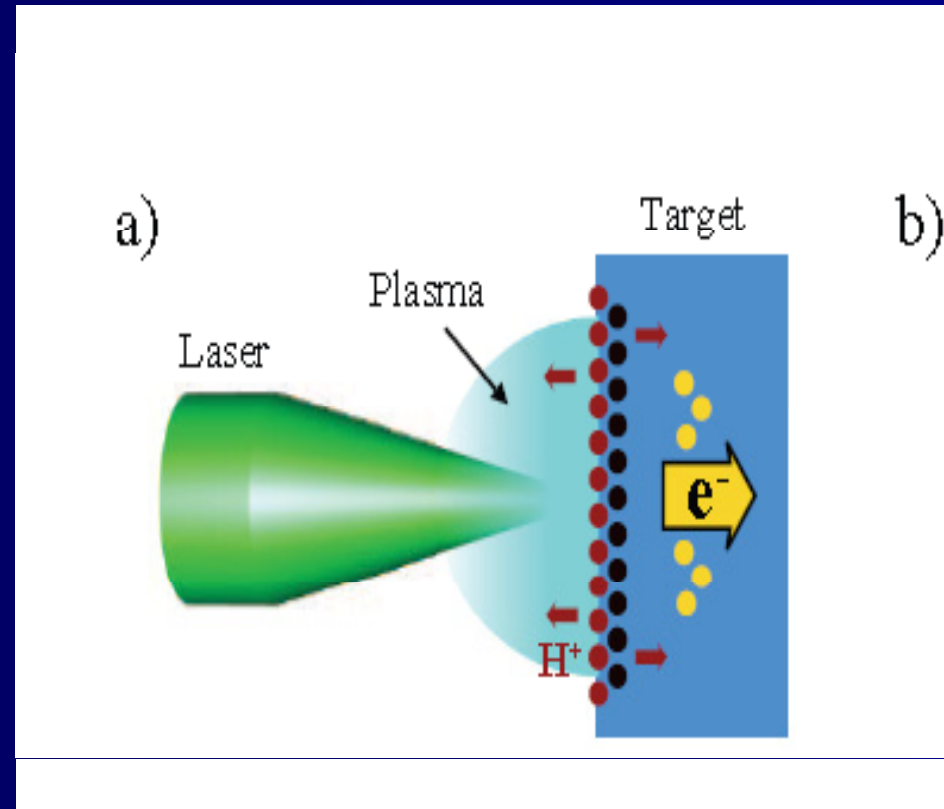
Feasible channels for nuclear reactions



“Low” intensities

$$\mathcal{E}_i = 2Z_i T_e \left\{ \ln \left[\frac{\omega_{pi} t}{\sqrt{2e_N}} + \sqrt{\left(\frac{\omega_{pi} t}{\sqrt{2e_N}} \right)^2 + 1} \right] \right\}^2$$

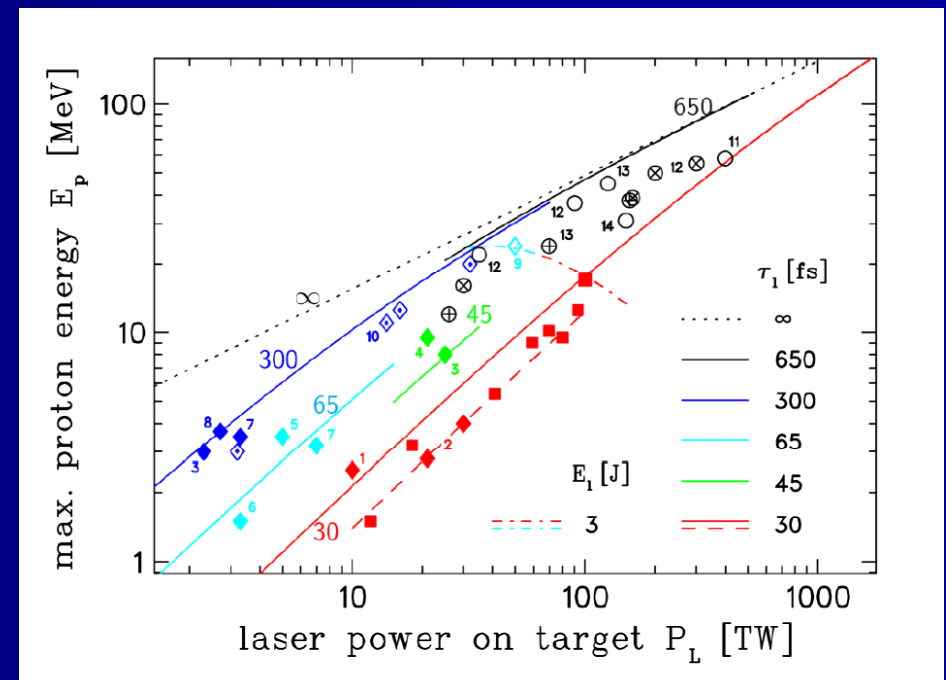
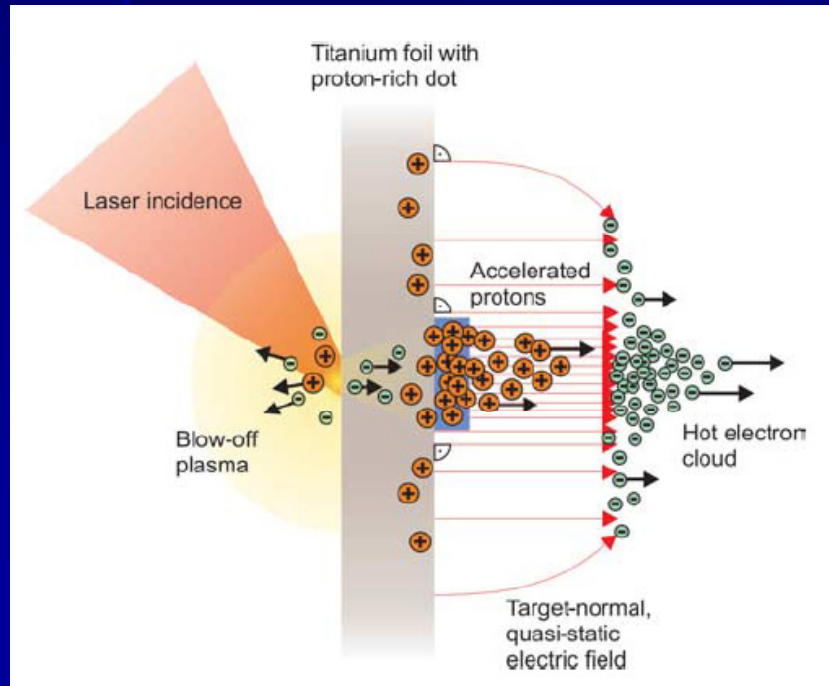
Mora P 2003 Plasma expansion into a vacuum *Phys. Rev. Lett.* **90** 185002



TNSA

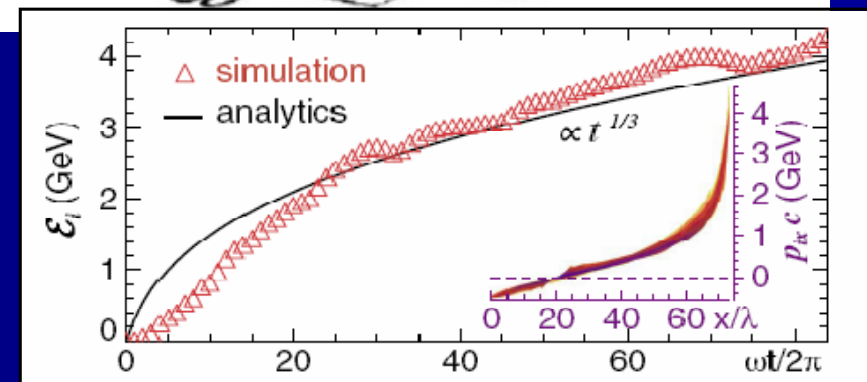
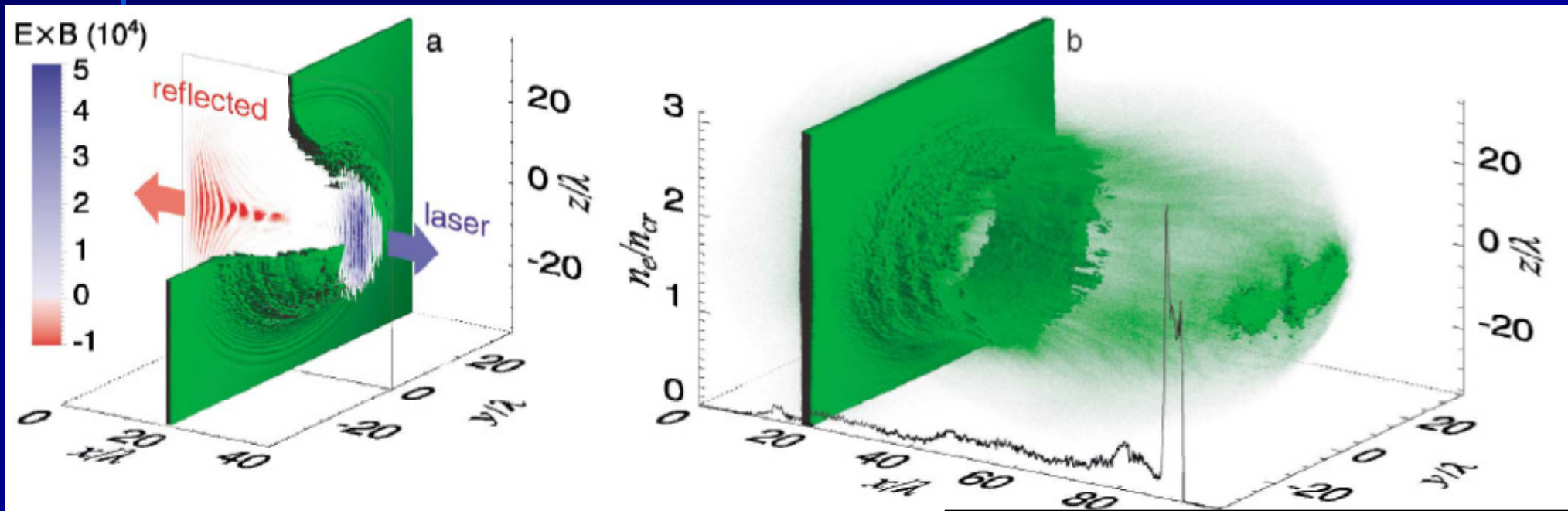
$$eE_s \sim \frac{T_h}{L_s} \quad L_s \sim \lambda_{\text{Dh}} = (T_h/4\pi e^2 n_h)^{1/2}.$$

$$\mathcal{E}_p = m_e c^2 (\gamma - 1) = m_e c^2 \left(\sqrt{1 + a_0^2/2} - 1 \right),$$

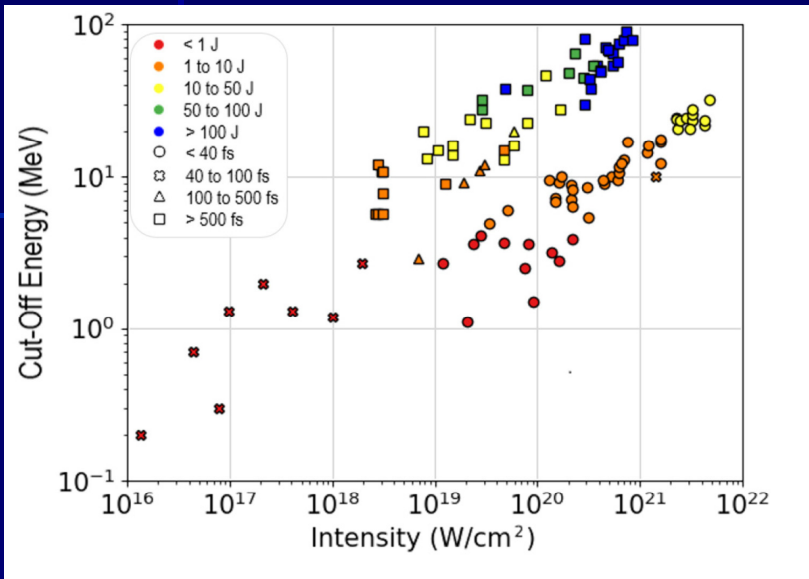


Radiation pressure acceleration

$$I = 10^{23} \text{ W/cm}^2, n_e = 5.5 \times 10^{23} \text{ cm}^{-3}$$



Лазерно-плазменное ускорение ионов и вторичные пучки



- ✓ Позитроны
- ✓ Нейтроны (γ, n), d(d,n), p(Z,n)
- ✓ ...

□ Ядерная астрофизика

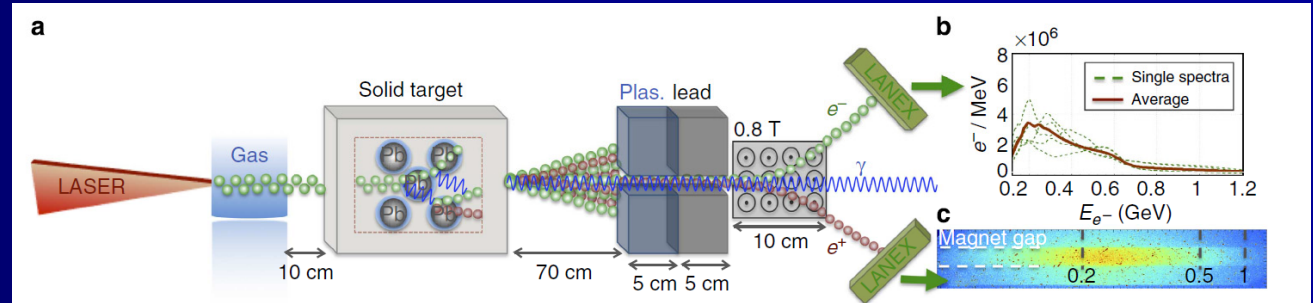
- ✓ Литиевая проблема
- ✓ s - и r-процессы (потоки нейтронов 10²²-10²⁴ n c⁻¹cm⁻²)

□ Ядерная медицина

- ✓ Наработка изотопов для SPECT, PET
- ✓ FLASH технологии
- ✓ IBT

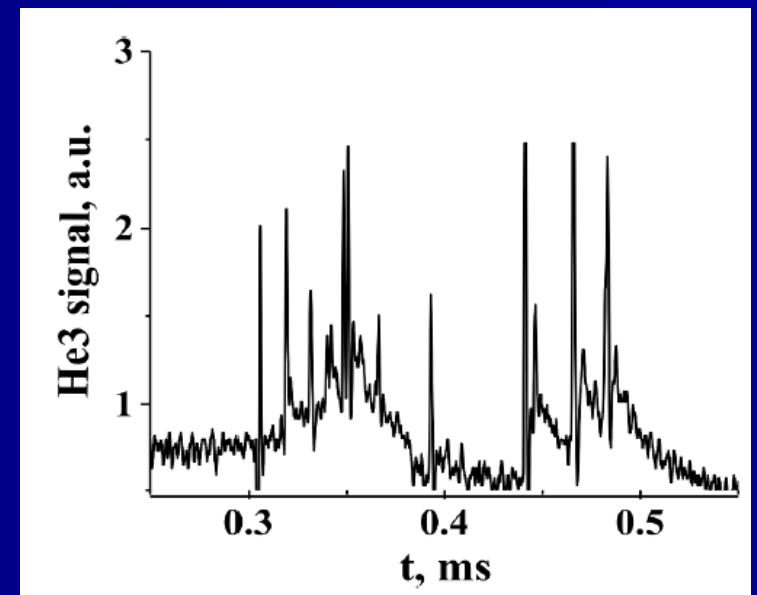
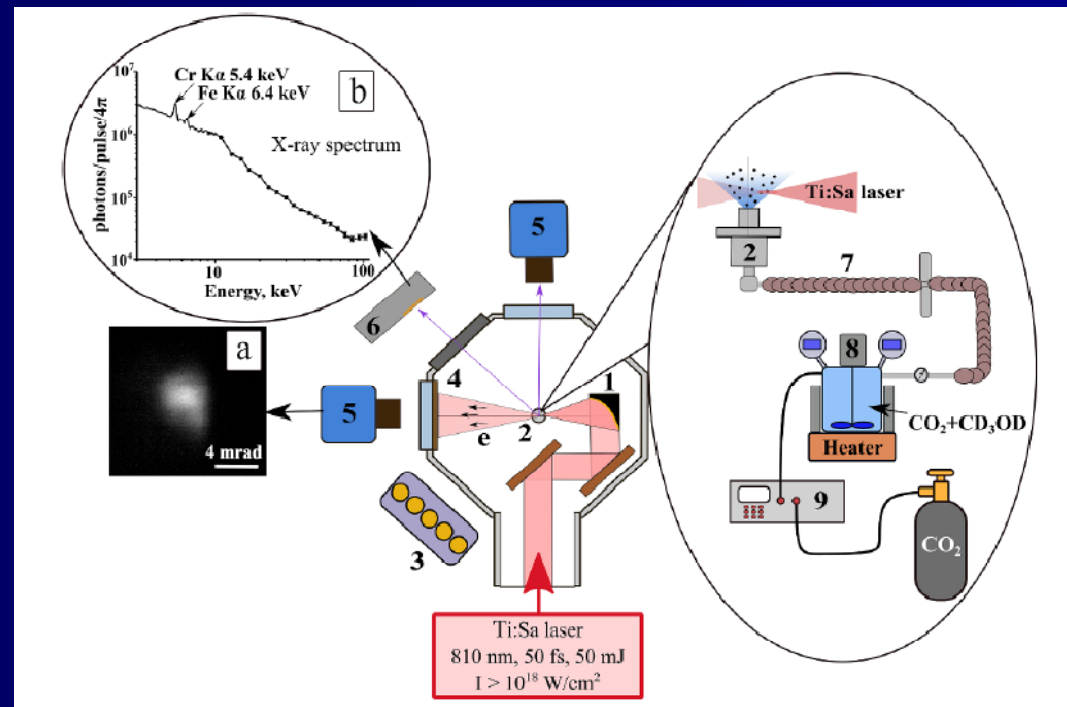
□ Трансмутация тяжелых изотопов

□ Радиационная стойкость материалов и микросхем



Thermonuclear neutrons from cluster jet

1 ТВт (50 мДж, 50 фс)

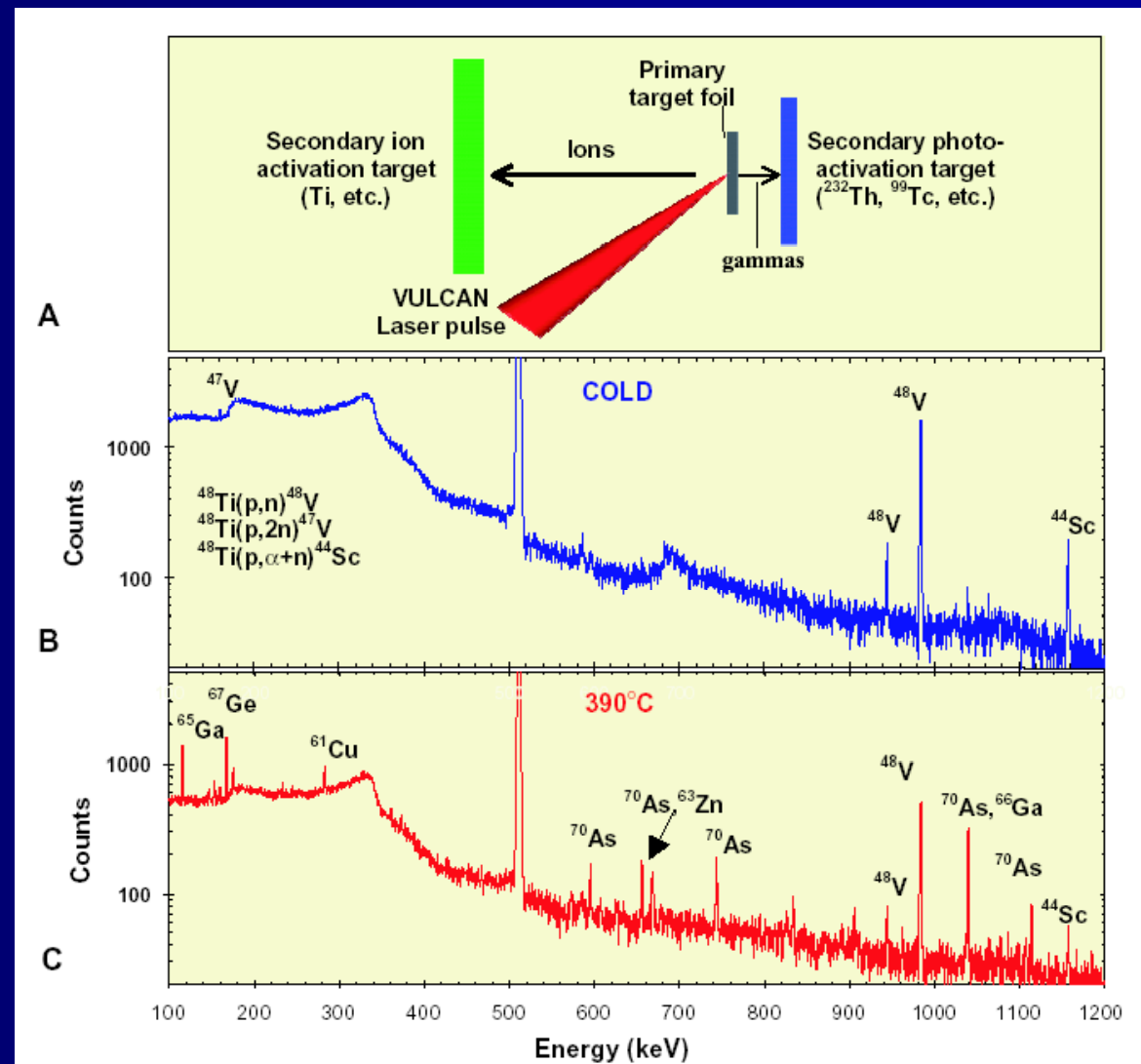


$$N \sim 6 \times 10^4 \text{ n J}^{-1}$$

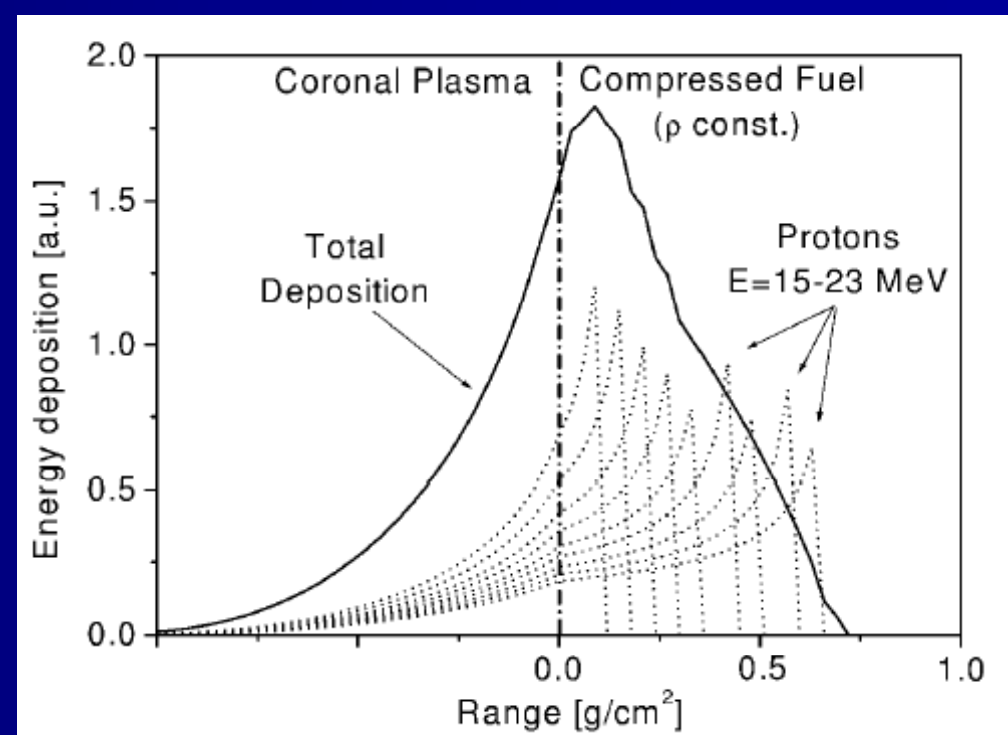
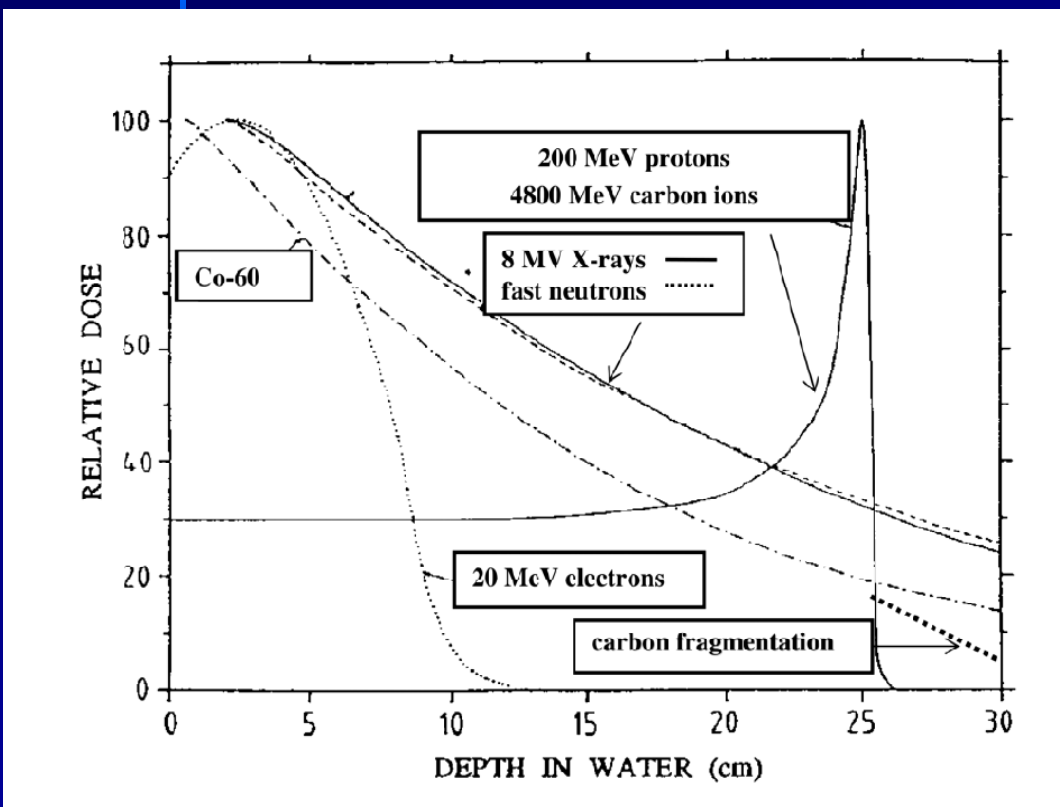
Ядерные реакции под действием тяжелых ионов

(p,n), (p,2n), and (p, α +n)

$(^{27}\text{Al}, ^{48}\text{Ti}) \rightarrow ^{70}\text{As}$



Hadron therapy



Ядерная фотоника

Ядерная фотоника – уникальные перспективы и новые методы для ядерной физики и физики частиц с использованием экстремальных световых полей

В.Недорезов, С.Рыкованов, А.Савельев УФН 191(12) 1281–1306 (2021)

Что нового могут дать сверхмощные лазеры?

В рамках традиционных подходов:

- Лазерное ускорение электронов, позитронов, протонов и адронов
- Генерация тормозного гамма излучения в мишени конверторе
- Комптоновское рассеяние лазерного излучения на пучке электронов из линейного или лазерного ускорителя
- Формирование нейтронных импульсов

Новые подходы и методы:

- Формирование сверхинтенсивных потоков гамма-излучения при «пробое вакуума»
- Встречное ускорение пучков адронов
- Прямое воздействие лазерного излучения на ядро (возбуждение ядер, ускорение распада?)
- ???